



CIMAT

Centro de Investigación en Matemáticas, A.C.

---

# **AUTO-CALIBRACIÓN DE RASTREADOR OCULAR CON ANÁLISIS DE PATRONES Y TÉCNICAS PROBABILISTAS**

**T E S I S**

Que para obtener el grado de  
**Maestro en Ingeniería de Software**

**Presenta**

ISC. Carlos Alberto Pinedo García

**Director de Tesis:**

Dr. Carlos Alberto Lara Álvarez

---

**Autorización de la versión**

Zacatecas, Zac., 2 de febrero de 2018

# Agradecimientos

A mi familia por todo el apoyo que me han brindado durante mis estudios.

A mi director de tesis Dr. Carlos Alberto Lara Álvarez por todos los conocimientos compartidos durante mi trabajo de investigación.

De igual manera, al Centro de Investigación en Matemáticas Unidad Zacatecas por el apoyo otorgado para mi estancia de investigación.

Finalmente, al Consejo Nacional de Ciencia y Tecnología (CONACYT) por el financiamiento mediante la beca de posgrado para la realización de estudios.

# Resumen

El rastreo ocular es una técnica que mide los movimientos oculares para que un investigador sepa a donde está mirando una persona en un momento dado y la secuencia con la que sus ojos están cambiando de un lugar a otro. Es importante que un rastreador ocular esté calibrado para asegurar que las entradas y salidas están configuradas de forma óptima, y así evitar muchos problemas desde degradación del desempeño e incremento en los errores. En los rastreadores oculares sin compensación los movimientos de la cabeza del participante causan que la calibración deje de ser aceptable. En el mercado existen rastreadores oculares que proporcionan compensación del movimiento de cabeza; sin embargo, tienen un costo mayor. En ésta tesis se propone un método que aprovecha la lectura de un texto para ocultar el proceso de calibración; además, se utiliza calibración incremental y se comprueba si la calibración no excede un margen determinado, en caso contrario, el método propuesto es capaz de re-calibrar el rastreador ocular usando los datos que se obtienen de la lectura de texto y la interacción del usuario con el sistema. Para realizar el proceso de calibración se resuelve un problema de mínimos cuadrados usando factorización QR y rotaciones de Givens, de este modo se pueden añadir restricciones al sistema sin resolver todo el problema cada vez, reduciendo así el costo computacional. Se llevó a cabo un experimento para cuantificar el error en la calibración a través de las diferentes iteraciones. Al usar una resolución de  $1440 \times 900$  píxeles la calibración inicial con la técnica propuesta muestra errores absolutos en  $x$  de  $\text{media}(e_x) = 278.50$  píxeles y errores absolutos en  $y$  de  $\text{media}(e_y) = 52.22$  píxeles; es decir, la calibración es más eficiente en el eje vertical que en el eje horizontal. En iteraciones posteriores se observa una reducción del error en la calibración a  $\text{media}(e_x) = 139.92$  píxeles y  $\text{media}(e_y) = 26.95$  píxeles.

**Palabras clave:** rastreador ocular, calibración, compensación de movimientos de cabeza, incremental, factorización QR, rotaciones de Givens.







## Índice general

Índice de figuras .....	VII
Índice de tablas .....	IX
<b>1</b> <b>Introducción</b> .....	<b>1</b>
1.1 <b>Antecedentes</b>	<b>2</b>
1.2 <b>Motivación</b>	<b>3</b>
1.3 <b>Definición del problema</b>	<b>4</b>
1.4 <b>Objetivos</b>	<b>4</b>
1.5 <b>Hipótesis</b>	<b>5</b>
1.6 <b>Alcance y limitaciones</b>	<b>5</b>
1.7 <b>Organización de la tesis</b>	<b>5</b>
<b>2</b> <b>Revisión del estado del arte</b> .....	<b>7</b>
2.1 <b>Métodos de calibración</b>	<b>8</b>
2.2 <b>Métodos de compensación de movimiento de cabeza</b>	<b>10</b>
2.3 <b>Resumen de métodos</b>	<b>10</b>
<b>3</b> <b>Método propuesto</b> .....	<b>13</b>
3.1 <b>Generalidades del método</b>	<b>13</b>
3.1.1 <b>Patrón de calibración</b> .....	<b>14</b>

3.1.2	Obtención de primitivas de calibración	17
<b>3.2</b>	<b>Marco teórico</b>	<b>17</b>
3.2.1	Representación en coordenadas homogéneas	17
3.2.2	Mínimos cuadrados	18
3.2.3	Factorización QR	19
3.2.4	Rotaciones de Givens	20
<b>3.3</b>	<b>Descripción del método de calibración seleccionado</b>	<b>21</b>
3.3.1	Calibración inicial	21
3.3.2	Calibración incremental	23
3.3.3	Detección de calibración válida	23
<b>3.4</b>	<b>Resumen</b>	<b>23</b>
<b>4</b>	<b>Pruebas y resultados</b>	<b>25</b>
4.1	Objetivos de la investigación	25
4.2	Metodología	25
4.3	Métricas	26
4.4	Procedimiento	26
4.5	Análisis estadístico	27
4.6	Resultados	27
<b>5</b>	<b>Conclusiones y trabajo futuro</b>	<b>31</b>
5.1	Discusión de resultados	31
5.2	Conclusiones	31
5.3	Trabajo futuro	32
	<b>Bibliografía</b>	<b>a</b>
	<b>Glosario</b>	<b>c</b>

<b>A</b>	<b>Apéndice 1. Código de Calibración .....</b>	<b>e</b>
----------	--	----------





## Índice de figuras

1.1	Cambio en la distancia al dispositivo de rastreo ocular . . . . .	2
1.2	Problema por calibración no válida . . . . .	3
1.3	Relación costo/esfuerzo para resolver el problema de compensación de movimientos de cabeza . . . . .	3
1.4	Sistema de sujeción de barbilla . . . . .	4
2.1	Calibración del rastreador ocular con nueve puntos . . . . .	9
3.1	Diagrama de actividad que representa el flujo del método . . . . .	14
3.2	Patrón de calibración inicial . . . . .	16
3.3	Obtención de primitivas de calibración . . . . .	17
4.1	Error en la calibración después de cada iteración . . . . .	28





# Índice de tablas

- 2.1 Comparativa de métodos de seguimiento ocular en función de la compensación de movimientos de cabeza y calibración . . . . . 8
- 4.1 Error de los resultados del algoritmo propuesto en iteraciones de calibración . . . . . 29







## 1. Introducción

El rastreo ocular es una técnica mediante la cual se miden los movimientos oculares para que un investigador sepa a donde está mirando una persona en un momento dado y la secuencia con la que sus ojos están cambiando de un lugar a otro. El seguimiento de los movimientos oculares de las personas puede ayudar a los investigadores de Interacción Humano-Computadora (HCI del inglés *Human-Computer Interaction*) a entender el procesamiento de información visual y los factores que pueden afectar la usabilidad de las interfaces del sistema (Poole and Ball, 2005). Duchowski (2007) propone la siguiente taxonomía tecnológica para dispositivos de rastreo ocular:

1. Primera generación: medición directa del ojo (montado en la cabeza) que consiste en técnicas como lente de contacto escleral / bobina de búsqueda, electrooculograma.
2. Segunda generación: foto y video-oculografía.
3. Tercera generación: reflexión combinada basada en vídeo analógico / reflejo corneal.
4. Cuarta generación: reflexión combinada de pupila / córnea basada en vídeo digital, aumentada por técnicas de visión por computadora y Procesadores de Señal Digital (DSP del inglés *Digital Signal Processor*).

Debido al aumento en la capacidad de cómputo y a las mejoras de las técnicas de visión por computadora, los fabricantes de rastreadores oculares están desarrollando dispositivos que por lo general caen dentro de la cuarta generación, debido a que se utiliza una cámara; además, el seguimiento ocular puede realizarse remotamente (lo que significa que la cámara está colocada en algún lugar al frente del participante), o puede hacerse montado a la cabeza (lo que significa que está por debajo del eje visual del ojo, generalmente en el marco de unos lentes).

Ambos tipos de rastreadores oculares, remotos o montados en la cabeza, tienen dos inconvenientes importantes si se van a utilizar en sistemas HCI:

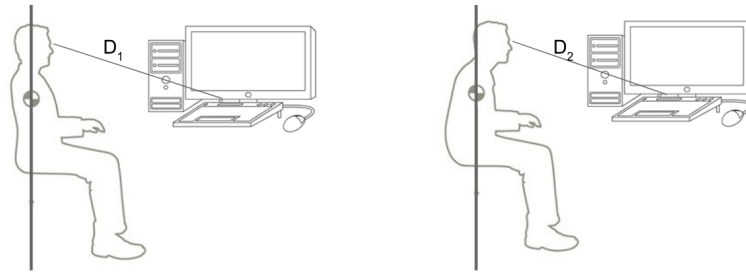


Figura 1.1: Distancia  $D_1$ , es diferente a la distancia  $D_2$  cuando el participante se acerca a la pantalla lo que ocasiona un desfase en los datos obtenidos por el rastreador ocular.

- El cambio de posición de cabeza (Fig. 1.1). Esto se puede resolver para los rastreadores remotos usando dos cámaras estéreo o una cámara gran angular para buscar a la persona delante de ella y otra para apuntar la cara de la persona. Se necesitan características como la orientación 3D cara de la cara del sujeto y distancia para compensar el movimiento de la cabeza (Lupu and Ungureanu, 2013).
- Deben ser calibrados para cada individuo (Zhu and Ji, 2007).

Dentro de la cuarta generación de rastreadores oculares, se pueden usar dos tipos de imágenes, en el espectro visible y en el espectro infrarrojo. Debido al uso de técnicas de visión por computadora, es posible usar fuentes de video comunes como lo son las cámaras integradas en teléfonos celulares y computadoras portátiles, también es posible el uso de dispositivos de rastreo ocular de bajo costo, con el inconveniente de que no se tiene el hardware necesario para realizar la compensación de los movimientos de cabeza, lo cual conlleva inconvenientes como los que se mencionan a continuación.

## 1.1 Antecedentes

En el año 2015, el Centro de Investigación en Matemáticas unidad Zacatecas (CIMAT) adquiere dos rastreadores oculares, con el objetivo de utilizarlos en las investigaciones de:

1. Evaluación de Objetos de Aprendizaje a través de Seguimiento Ocular (Mitre-Hernandez et al, 2016; Alvarado Hernández, 2016; Lara-Alvarez et al, 2016).
2. Evaluación de Carga Cognitiva en Videojuegos con Seguimiento Ocular (Covarrubias, 2016).

En estas investigaciones se observó que, aunque el dispositivo entregaba datos útiles, al carecer de compensación de movimiento de cabeza, cualquier cambio en la posición del participante provocaba

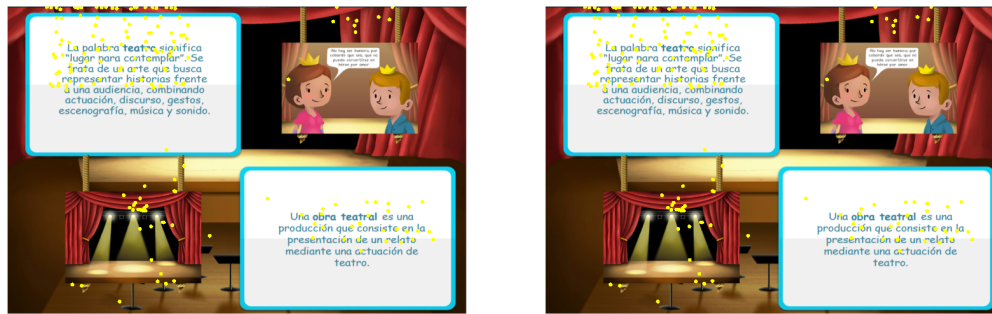


Figura 1.2: Error en las fijaciones producido por el movimiento de la cabeza.

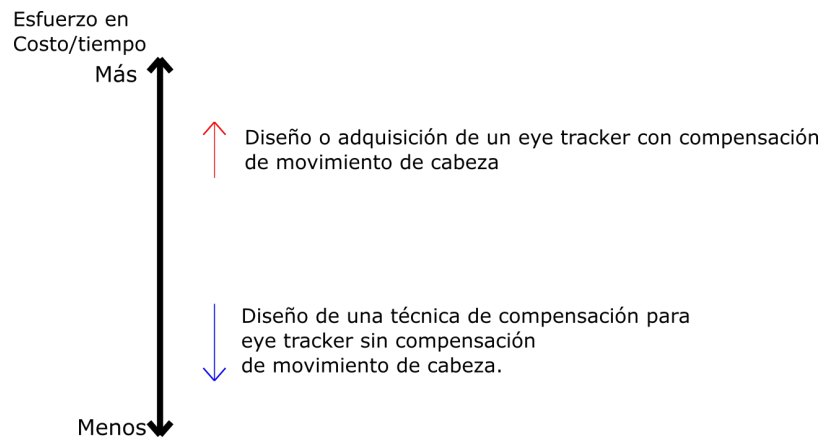


Figura 1.3: Relación costo/esfuerzo para resolver el problema de compensación de movimientos de cabeza.

un error en los datos como el que se observa en la Fig. 1.2. Para compensar dicho error Covarrubias (2016) propone una técnica que usa la distancia de la cabeza al sensor medida con un sensor ultrasónico.

## 1.2 Motivación

Durante un experimento de “*eye tracking*” es importante adaptarse a los movimientos de la cabeza del participante, ya que estos causan que la calibración requerida deje de ser válida. En el mercado existen rastreadores oculares que proporcionan compensación del movimiento de cabeza; sin embargo, tienen un costo mayor ya sea en precio o tiempo que se les debe invertir.

El incremento en el uso de computadoras portátiles y teléfonos inteligentes, permitiría utilizar sus cámaras como rastreadores oculares (Cheng et al, 2014), pero carecen del hardware necesario para realizar la compensación de movimientos de cabeza; existen propuestas de software que permiten



Figura 1.4: Sistema de sujeción de barbilla (Fixxl Ltd., 2017).

realizar esta compensación (Krafka et al, 2016). Las soluciones sin compensación de movimiento de cabeza tienden a ser más económicas (Fig. 1.3), pero requieren al participante permanecer en la misma posición por la duración del experimento, para reducir este problema se han usado sistemas de sujeción de barbilla (Fig. 1.4), pero es una solución incómoda para el participante y que requiere destinar un espacio y equipo especializado para el experimento, es por eso que en esta tesis se propone un método de calibración continua para reducir el error de las mediciones del rastreador.

### 1.3 Definición del problema

Dadas las mediciones obtenidas por un rastreador ocular basado en video, sin corrección de movimiento de cabeza, el problema consiste en obtener una calibración en tiempo real y re-calibrar cuando existan cambios de posición de la cabeza de un participante.

### 1.4 Objetivos

Con el propósito de dar solución al problema presentado, este trabajo de tesis propone el siguiente objetivo general:

- Calibrar en tiempo real un rastreador ocular y detectar una calibración no válida.

El cual se descompone en los siguientes objetivos específicos.

- Estudiar los tipos de transformaciones geométricas en 2D.
- Estudiar técnicas de calibración de rastreadores oculares.
- Proponer una técnica de calibración basada en factorización QR y rotaciones de Givens.
- Probar la técnica de calibración con un rastreador ocular.

## 1.5 Hipótesis

En esta tesis se evalúa la siguiente hipótesis:

- Se puede generar una técnica de calibración en tiempo real para rastreador ocular basado en video capaz de compensar movimientos de cabeza naturales.

## 1.6 Alcance y limitaciones

Primero, el rastreador ocular usado es “*The Eye Tribe Tracker*” en su revisión de firmware 293; segundo, se requiere que el usuario lea un texto; tercero, la detección de fijaciones, calibración, actualización y validación de la calibración se deben realizar en tiempo real.

## 1.7 Organización de la tesis

Este trabajo está organizado de la siguiente manera: El capítulo 2 describe las técnicas de calibración de rastreadores oculares reportadas en la literatura. El capítulo 3 detalla la propuesta realizada. El capítulo 4 aborda las pruebas realizadas y los resultados obtenidos. El capítulo 5 detalla las conclusiones obtenidas y describe el trabajo a futuro.





## 2. Revisión del estado del arte

Como se menciona en el capítulo 1, el seguimiento ocular es una técnica donde la posición del ojo se usa para determinar la dirección de la mirada de una persona en un momento dado (Poole and Ball, 2005). A través de los años, se han desarrollado diferentes técnicas de seguimiento ocular, de acuerdo con la tecnología disponible a la época.

Emile Java (Oftalmólogo francés, 1839 - 1907) fue uno de los primeros en describir en 1879 los movimientos del ojo durante la lectura de textos. Se observa con la ayuda de un espejo, que los movimientos oculares no son de forma continua a lo largo de la frase, sino compuestos de movimientos rápidos nombrados movimientos sacádicos combinados con paradas cortas nombradas fijaciones (Lupu and Ungureanu, 2013).

La aparición de la computadora personal en los años 80 se comparó con una bocanada de aire para las investigaciones de seguimiento ocular. Ahora, los científicos tienen un instrumento importante para el procesamiento de datos a alta velocidad. También comienzan a investigar cómo el seguimiento de los ojos se puede utilizar para la interacción entre el ser humano y la computadora. Al principio, esto se hizo para ayudar a las personas con discapacidad a tener acceso a la nueva tecnología. Luego, los grupos de marketing vieron la oportunidad de usar el seguimiento de los ojos para mejorar sus anuncios en las revistas, observando qué páginas se leen en realidad y cuántas veces. En el mismo contexto, a principios de los años 90, el rastreador ocular fue utilizado por el analista Joe Theismann de la NFL y una serie de aficionados al fútbol para determinar qué partes de la pantalla eran más vistas y qué partes menos. Debido al éxito de este enfoque, EURO RSCG, la mayor agencia de publicidad y marketing, utilizó la tecnología de seguimiento ocular para evaluar y medir las reacciones a la información de sitios web (Lupu and Ungureanu, 2013).

Como se menciona en el Capítulo 1, los rastreadores oculares basados en video tienen dos

Tabla 2.1: Comparativa de métodos de seguimiento ocular en función de la compensación de movimientos de cabeza y calibración.

		Compensación del movimiento de cabeza	
		SI	NO
Calibración	SI	<ul style="list-style-type: none"> <li>■ Cámaras estéreo.</li> <li>■ Cámara gran angular y cámara zoom.</li> <li>■ Seguimiento de vista en 3D con mapeo en 2D.</li> </ul>	<ul style="list-style-type: none"> <li>■ Cámara simple.</li> <li>■ Montado a la cabeza.</li> </ul>
	NO	<ul style="list-style-type: none"> <li>■ “GazeCapture” con “iTracker”</li> </ul>	–

principales inconvenientes:

- Los movimientos de cabeza del participante, los cuales generan errores en los datos del rastreador ocular.
- Se deben calibrar para cada participante.

La tabla 2.1 muestra una comparativa entre los métodos de calibración y compensación de movimiento de cabeza, de los cuales se observa que todos los métodos estudiados que requieren de calibración y compensan movimientos de cabeza hacen uso de dos cámaras lo cual incrementa su costo. Este trabajo es útil para dispositivos de seguimiento ocular que requieren calibración pero no compensan los movimientos de cabeza. Además la técnica permite detectar cuando una calibración deja de ser válida.

## 2.1 Métodos de calibración

Como se menciona anteriormente, Duchowski (2007) propone una taxonomía de cuatro generaciones para rastreadores oculares, la tercera y cuarta generación hacen uso de un sistema de puntos distribuidos en la pantalla que el sujeto debe mirar para realizar una calibración. Estos sistemas se diferencian generalmente entre sí por:

- La tercera generación utiliza de cinco a nueve puntos y es controlado por el rastreador ocular.



- La cuarta generación utiliza un número cualquiera de puntos, y es controlado por la aplicación.

Para la cuarta generación de rastreadores oculares generalmente se utilizan nueve puntos (Fig. 2.1) ya que representa un intermedio entre la precisión de la calibración sin volverse cansado para el sujeto (Cheng et al, 2014), desde el punto de vista del usuario, la calibración de los rastreadores oculares ha mejorado considerablemente, siendo la mayor mejora la ausencia de un sistema de sujeción de barbilla.



Figura 2.1: Calibración del rastreador ocular con nueve puntos (The Eye Tribe, 2017).

Flatla et al (2011) hacen hincapié en la importancia del proceso de calibración en sistemas interactivos para asegurar que las entradas y salidas están configuradas de forma óptima, desde degradación del desempeño, incremento en los errores y algunas interacciones que pueden ser imposibles si no se realiza una calibración; sin embargo, estos procesos son tediosos y poco agradables para los participantes, quienes pueden acabar evitándolos del todo. Para dar solución a este problema Flatla et al (2011) proponen “*juegos de calibración*”; los cuales capturan los datos requeridos para la calibración de una manera atractiva y entretenida, para facilitar esto, presentan guías de diseño para mapear tipos comunes de calibración a tareas clave y de allí, a mecánicas de juego bien conocidas.

La propuesta de esta tesis no usa la matriz clásica de nueve (o doce) puntos para calibración de rastreadores oculares (Cheng et al, 2014; Duchowski, 2007; The Eye Tribe, 2017). Tampoco se puede usar un juego de calibración como el sugerido por Flatla et al (2011). Sin embargo, se pueden aprovechar las actividades que el usuario realiza cuando usa objetos de aprendizaje. Álvarez et al (2010) define objeto de aprendizaje como: un recurso de información o software interactivo

utilizado en el aprendizaje online. Una actividad primordial al usar objetos de aprendizaje es la lectura de texto; por este motivo se pensó en usar un patrón base que consiste de líneas de texto complementadas con clics en la pantalla. De tal manera que el proceso de calibración queda oculto al participante y se puede utilizar para re-calibrar el dispositivo cuando se detecta una calibración no válida.

## 2.2 Métodos de compensación de movimiento de cabeza

Zhu and Ji (2007) proponen dos técnicas de compensación de movimientos de cabeza. La primera es una técnica de seguimiento de la vista en tres dimensiones, que permite estimar el eje óptico de la vista sin necesidad de conocer ningún parámetro dependiente del ojo del sujeto. La segunda es una técnica basada en mapeo de la mirada en dos dimensiones para permitir movimiento libre de cabeza, cuando la cabeza se mueve, la función puede ser actualizada automáticamente.

Lupu and Ungureanu (2013) lista el uso de dos cámaras estéreo o una cámara gran angular para buscar a la persona delante de ella y otra para apuntar la cara de la persona debido a que se requieren las características como la orientación en tres dimensiones de la cara del sujeto y distancia para compensar el movimiento de la cabeza.

Krafka et al (2016) proponen un método que hace uso de un conjunto de datos al que nombran “*GazeCapture*” y una red neuronal convolucional llamada “*iTracker*”, que no recae en ningún sistema pre-existente de estimación de la posición de la cabeza.

## 2.3 Resumen de métodos

En la mayoría de métodos analizados se observa que aún requieren un proceso de calibración por participante. Para compensar los movimientos de cabeza, usualmente se requieren técnicas de visión por computadora para detectar las características en tres dimensiones del ojo y el rostro, debido a esto los rastreadores que hacen uso de una sola cámara tienen problemas en la compensación. En el capítulo 3 se propone un método que hace uso de la lectura de un texto para ocultar el proceso de calibración; además, para compensar los movimientos de cabeza se utiliza calibración incremental y válida si el error en la calibración y las posiciones de los datos en pantalla no exceden un margen

determinado, en caso contrario solícita un nuevo proceso de calibración.





## 3. Método propuesto

### 3.1 Generalidades del método

Como se describe en el capítulo anterior los métodos de calibración convencionales utilizan una secuencia de puntos para generar una calibración inicial; en los dispositivos de seguimiento ocular con compensación de cabeza o cuando se usa un dispositivo de sujeción de barbilla, esa calibración se mantiene por el resto del experimento. Sin embargo, como describe la Fig. 1.1, esta calibración se puede invalidar para sensores sin compensación de movimiento de cabeza. En este capítulo se describe la técnica propuesta que usa la menor cantidad de puntos de fijación posibles para la calibración inicial y re-calibrar en caso de ser necesario.

El diagrama de la Fig. 3.1 ilustra el funcionamiento del método propuesto. En primer lugar, se requiere de un proceso de calibración inicial. En consecuencia, el rastreador ocular se puede usar para realizar mediciones. Con el fin de que la calibración sea válida en todo momento, el algoritmo realiza una validación de calibración de forma periódica. En caso de que la calibración no sea válida, el sistema realiza un proceso de re-calibración.

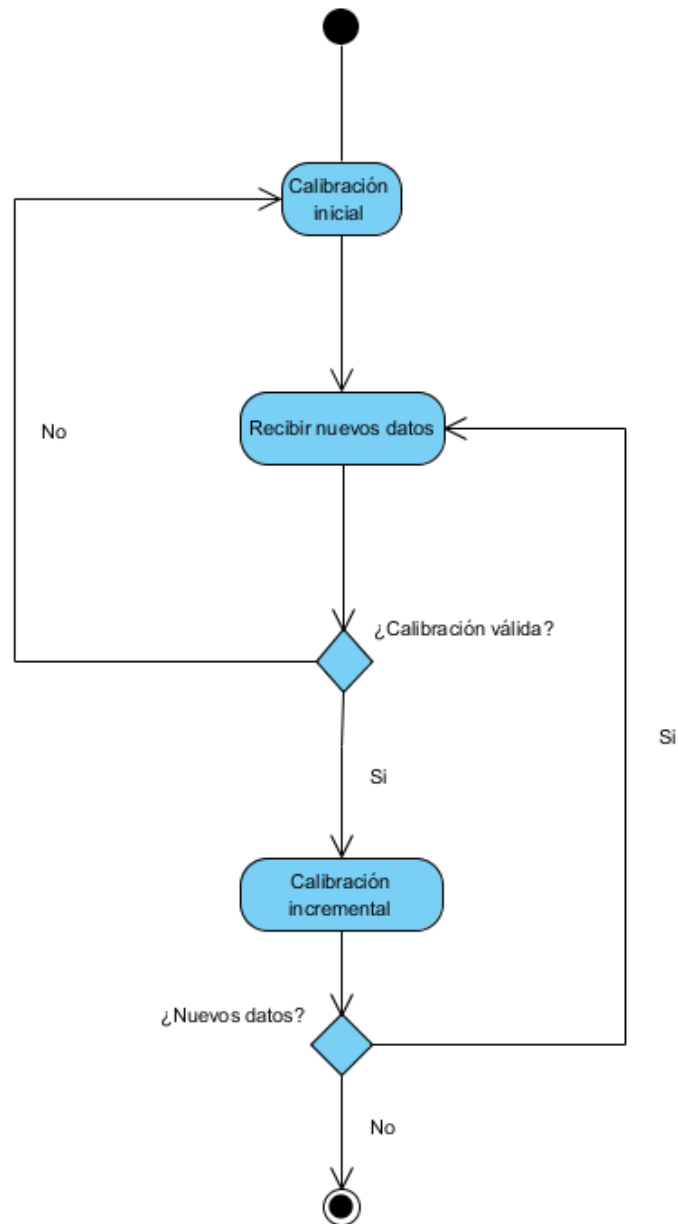


Figura 3.1: Diagrama de actividad que representa el flujo del método.

### 3.1.1 Patrón de calibración

El método de calibración propuesto utiliza el patrón que se describe en la Fig. 3.2. El patrón asocia los conjuntos  $P = \{p_1, p_2\}$  y  $L = \{l_1, l_2, l_3\}$  que se muestran en la pantalla con los conjuntos  $P' = \{p'_1, p'_2\}$  y  $L' = \{l'_1, l'_2, l'_3\}$  que se obtienen por el sensor. Los conjuntos  $P$  y  $P'$  son puntos, mientras que  $L$  y  $L'$  son líneas.

Para poder realizar la calibración se requiere un conjunto de puntos de la pantalla asociado a un conjunto de puntos del sensor. Los dos puntos de  $P$  asociados con los dos puntos  $P'$  no son suficientes para generar un modelo de calibración. Por lo tanto, la técnica propuesta obtiene más puntos a partir las primitivas  $P, L$  y  $P', L'$  como se describe a continuación:

**Puntos de proyección.** Estos puntos se obtienen proyectando puntos en líneas; es decir, se obtiene el conjunto  $P_Q$ :

$$P_Q = \text{proy}(P, L) = \{q_{ij} = \text{proy}(p_i, l_j) \mid p_i \in P, l_j \in L\}$$

Como se ilustra en la figura 3.2, se obtienen los puntos de proyección  $P_Q = \text{proy}(P, L)$  y  $P'_Q = \text{proy}(P', L')$

**Puntos de intersección.** Sea  $l_{ab}$  la línea que une los puntos  $p_1, p_2$ . El conjunto de puntos de intersección  $P_R$  es:

$$P_R = \text{intersect}(P, L) = \{r_i = \text{intersect}(l_{ab}, l_i) \mid l_i \in L\}$$

Como se ilustra en la figura 3.2, se obtienen los puntos de intersección  $P_R = \text{intersect}(P, L)$  y  $P'_R = \text{intersect}(P', L')$

De tal manera que la calibración se puede realizar con los puntos de la pantalla  $P_S = P \cup P_Q \cup P_R$  asociados con los puntos del sensor ocular  $P_E = P' \cup P'_Q \cup P'_R$ .

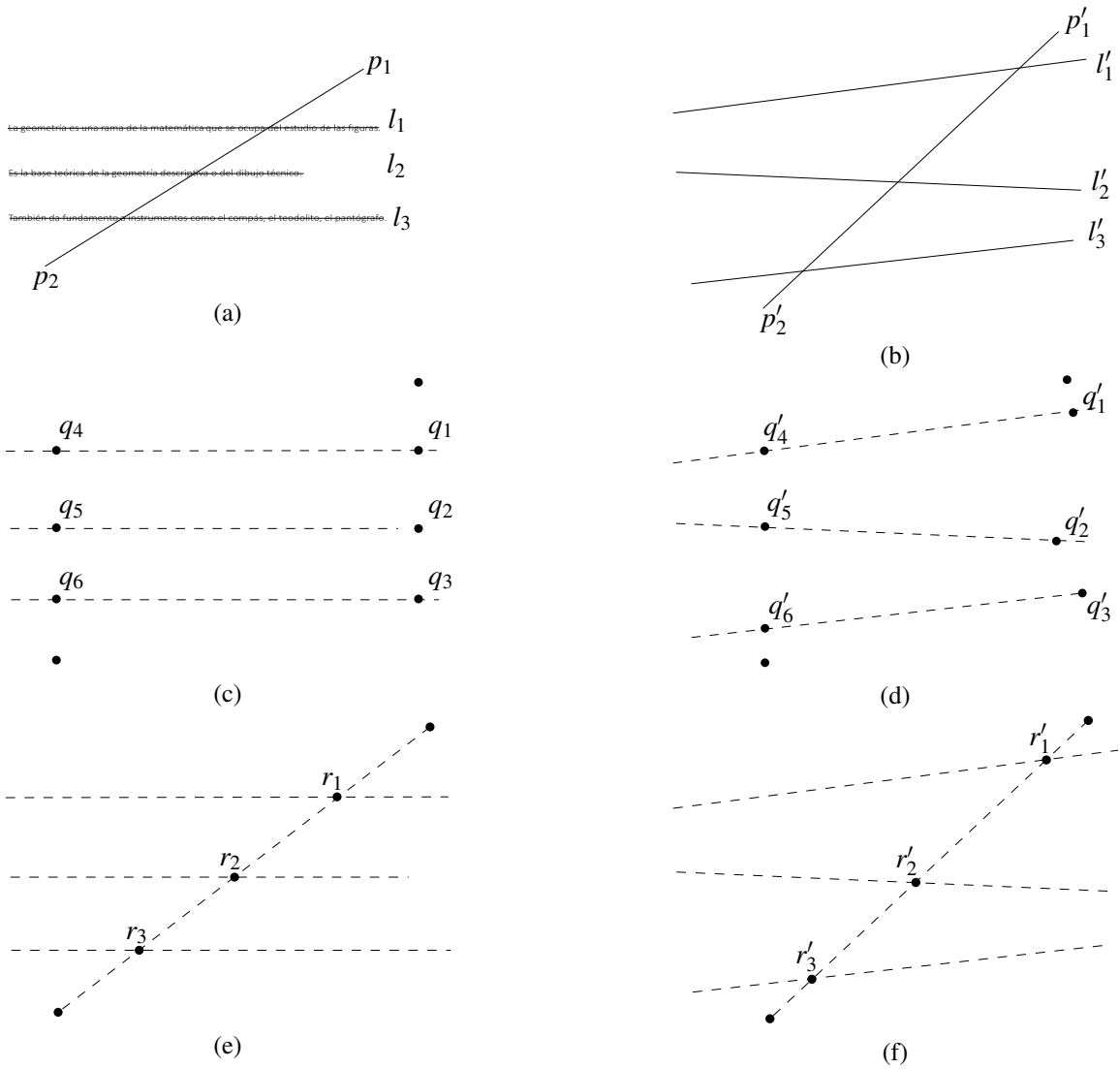


Figura 3.2: Patrón de calibración inicial. (a) Patrón que se obtiene de los puntos de fijación inicial en pantalla  $P = \{p_1, p_2\}$  y las líneas de texto  $L = \{l_1, l_2, l_3\}$ . (b) Patrón que se obtiene de los puntos de fijación inicial del sensor  $P' = \{p'_1, p'_2\}$  y las líneas de lectura  $L' = \{l'_1, l'_2, l'_3\}$ . (c) Puntos que se obtienen de la proyección de los puntos de fijación inicial en pantalla a las líneas de texto  $P_Q = \text{proy}(P, L)$ . (d) Puntos que se obtienen de la proyección de los puntos de fijación inicial del sensor a las líneas de lectura  $P'_Q = \text{proy}(P', L')$ . (e) Puntos que se obtienen de la intersección entre los puntos de fijación inicial en la pantalla con las líneas de texto  $P_R = \text{intersect}(P, L)$ . (f) Puntos que se obtienen de la intersección entre los puntos de fijación inicial del sensor con las líneas de lectura  $P'_R = \text{intersect}(P', L')$ .



### 3.1.2 Obtención de primitivas de calibración

El proceso inicia mostrando un punto en la esquina superior derecha de la pantalla, espera un clic en la pantalla por parte del participante y solicita las lecturas de fijaciones al controlador del rastreador ocular, después muestra un punto en la parte inferior izquierda de la pantalla y nuevamente espera un clic en la pantalla antes de solicitar las fijaciones al controlador del rastreador ocular, con este proceso se obtienen las fijaciones iniciales que serán requeridas para proyectar las líneas necesarias para calcular los puntos de intersección. Una vez se tienen los puntos de fijación inicial se muestra un texto pequeño que el usuario debe leer (Fig. 3.3), nuevamente se espera por un clic en la pantalla antes de solicitar las lecturas de fijaciones.

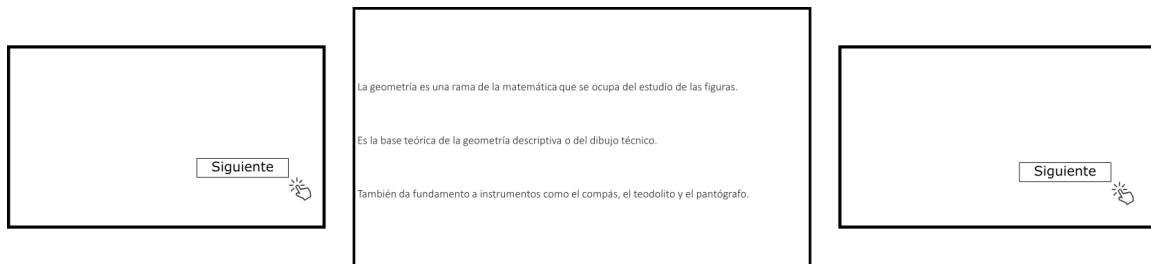


Figura 3.3: De izquierda a derecha: pantalla de espera por un clic, texto que se muestra al participante para calibración inicial, pantalla de espera por un clic.

## 3.2 Marco teórico

### 3.2.1 Representación en coordenadas homogéneas

Como se describe en Hartley and Zisserman (2004) una línea en el plano cartesiano está representada por una ecuación tal como  $ax + by + c = 0$ , donde diferentes opciones de  $a$ ,  $b$  y  $c$  dan lugar a diferentes líneas. Así, una línea puede ser representada naturalmente por el vector  $(a, b, c)^\top$ . La correspondencia entre las líneas y los vectores  $(a, b, c)^\top$  no es uno a uno, ya que las líneas  $ax + by + c = 0$  y  $(ka)x + (kb)y + (kc) = 0$  son las mismas, Para cualquier constante  $k$  diferente de 0

Un punto  $x = (x, y)^\top$  cae en la línea  $l = (a, b, c)^\top$  si y solo si  $ax + by + c = 0$ . Esto puede ser escrito en términos del productor interno de vectores que representan el punto como  $(x, y, 1)(a, b, c)^\top = (x, y, 1)l = 0$ ; esto significa que el punto  $(x, y)^\top$  en  $\mathbb{R}^2$  se representa en tres

dimensiones añadiendo una coordenada final de 1.

### 3.2.2 Mínimos cuadrados

Mínimos cuadrados es un método muy popular para calcular estimaciones y ajustar datos. Es una de las técnicas más antiguas de la estadística moderna (Abdi, 2003), un sistema de ecuaciones lineales se puede representar en forma matricial como:

$$A\theta = \mathbf{b} \quad (3.1)$$

donde  $A$  es la matriz de los coeficientes,  $\mathbf{b}$  es la columna de términos constantes, y  $\theta$  la columna de las incógnitas.

La solución general al problema de mínimos cuadrados es:

$$A^T A \theta = A^T \mathbf{b} \quad (3.2)$$

$$\theta = (A^T A)^{-1} A^T \mathbf{b}$$

#### Ejemplo: Calibrar un rastreador ocular

Suponga que tenemos  $n$  puntos del sensor  $((x_{s_1}, y_{s_1}), \dots, (x_{s_n}, y_{s_n}))$  y  $n$  puntos de la pantalla  $((x_{p_1}, y_{p_1}), \dots, (x_{p_n}, y_{p_n}))$  de forma que:

$$\begin{aligned} (x_{s_1}, y_{s_1}) &\mapsto (x_{p_1}, y_{p_1}) \\ &\vdots \\ (x_{s_n}, y_{s_n}) &\mapsto (x_{p_n}, y_{p_n}) \end{aligned} \quad (3.3)$$

Se desea obtener la calibración con el modelo definido por Cheng et al (2014):

$$\hat{x}_p = a + bx_s + cy_s + dx_s^2 + ey_s^2 + fx_s y_s \quad (3.4)$$

$$\hat{y}_p = g + hx_s + iy_s + jx_s^2 + ky_s^2 + lx_s y_s \quad (3.5)$$

Es decir, para obtener la coordenada de la pantalla ( $x_p$ ) a partir de una medición ( $x_s, y_s$ ) se requiere conocer los parámetros ( $a, b, \dots, f$ ) y ( $g, h, \dots, l$ ) para una coordenada ( $y_p$ ). En este ejemplo se resuelve únicamente para  $x_p$ ; sin embargo, siguiendo el mismo proceso se puede dar solución para  $y_p$ .

Con las asociaciones (3.3) y el modelo (3.4) se puede definir el siguiente sistema de ecuaciones:

$$\begin{aligned}\hat{x}_{p_1} &= a + bx_{s_1} + cy_{s_1} + dx_{s_1}^2 + ey_{s_1}^2 + fx_{s_1}y_{s_1} \\ &\vdots \\ \hat{x}_{p_n} &= a + bx_{s_n} + cy_{s_n} + dx_{s_n}^2 + ey_{s_n}^2 + fx_{s_n}y_{s_n}\end{aligned}\tag{3.6}$$

Que se puede representar en la forma (3.1) con:

$$\begin{aligned}A &= \begin{bmatrix} 1 & x_{s_1} & y_{s_1} & x_{s_1}^2 & y_{s_1}^2 & x_{s_1}y_{s_1} \\ & & & \vdots & & \\ 1 & x_{s_n} & y_{s_n} & x_{s_n}^2 & y_{s_n}^2 & x_{s_n}y_{s_n} \end{bmatrix} \\ \theta_x &= [a, b, \dots, f]^\top \\ \mathbf{b} &= [\hat{x}_{p_1}, \dots, \hat{x}_{p_n}]^\top\end{aligned}$$

Y se puede resolver con mínimos cuadrados (3.2).

### 3.2.3 Factorización QR

La factorización QR es otra forma de resolver un problema de mínimos cuadrados. La factorización QR de una matriz es una descomposición de la misma como producto de una matriz ortogonal por una matriz triangular superior (Press et al, 2007).

Si  $A \in \mathbb{R}^{m \times n}$  tiene columnas linealmente independientes, entonces se puede factorizar como:

$$A = QR\tag{3.7}$$

donde:  $Q$  es de  $m \times n$  con columnas ortonormales y  $R$  es de  $n \times n$ , triangular superior, sin elementos 0 en la diagonal.

Con esto en consideración podemos realizar el siguiente despeje para resolver el problema de mínimos cuadrados:

$$\begin{aligned}
 Ax &= b & (3.8) \\
 A^T Ax &= A^T b \\
 (QR)^T (QR)x &= (QR)^T b \\
 R^T Q^T QRx &= R^T Q^T b \\
 R^T Rx &= R^T Q^T b \\
 Rx &= Q^T b
 \end{aligned}$$

Entonces se procede a resolver utilizando sustitución hacia atrás.

$$\begin{aligned}
 x_n &= \frac{b_n}{A_{nn}} & (3.9) \\
 x_{n-1} &= \frac{b_{n-1} - A_{n-1,n}x_n}{A_{n-1,n-1}} \\
 x_{n-2} &= \frac{b_{n-2} - A_{n-2,n-1}x_{n-1} - A_{n-2,n}x_n}{A_{n-2,n-2}} \\
 &\vdots \\
 x_1 &= \frac{b_1 - A_{12}x_2 - A_{13}x_3 - \cdots - A_{1n}x_n}{A_{11}}
 \end{aligned}$$

### 3.2.4 Rotaciones de Givens

La factorización QR también se puede calcular con una serie de rotaciones de Givens (Press et al, 2007). Cada rotación hace cero un elemento en la subdiagonal de la matriz, formando de este modo la matriz R. La concatenación de todas las rotaciones de Givens realizadas, forma la matriz ortogonal Q.

Por ejemplo la matriz de rotación para  $i, k$  es:

$$\begin{bmatrix} 1 & 0 & 0 & 0 & 0 & \cdots & 0 \\ \vdots & \ddots & & & & \cdots & 0 \\ 0 & \cdots & q_{i,i} & \cdots & q_{i,k} & \cdots & 0 \\ 0 & \vdots & \ddots & & & \cdots & 0 \\ 0 & \cdots & q_{k,i} & \cdots & q_{k,k} & \cdots & 0 \\ 0 & \vdots & \ddots & & & \cdots & 0 \\ 0 & 0 & 0 & \cdots & & \ddots & 1 \end{bmatrix} \quad (3.10)$$

El procedimiento de rotación de Givens es útil en situaciones donde pocos elementos fuera de la diagonal necesitan ser anulados. De esta manera podemos usar una solución rápida para obtener una calibración inicial y rotaciones de Givens cuando se tenga una solución parcial. Es decir cuando un rastreador ocular se re-calibra.

### 3.3 Descripción del método de calibración seleccionado

#### 3.3.1 Calibración inicial

Para calcular la calibración, se toma el texto que se mostró al participante (Fig. 3.3) y se somete al siguiente proceso (Algoritmo 1):

Una vez se tienen los grupos de centroides y de fijaciones, se utiliza mínimos cuadrados con la ecuación para las rectas  $y = mx + b$  para obtener una línea que se ajusta a el grupo de centroides y otra que ajusta al grupo de fijaciones, a partir de estas líneas y los puntos de fijación, se calculan los puntos de intersección usando la línea ajustada a los centroides en su forma de coordenadas homogéneas y la línea en coordenadas homogéneas producto de los dos puntos de fijación, después, se calculan los puntos de intersección con los datos del rastreador (Fig. 3.2).

Con las líneas en coordenadas homogéneas se calculan los puntos más cercanos a los puntos de

**Algoritmo 1:** Algoritmo de Calibración Inicial

---

**Datos:** Datos de fijación del rastreador ocular DF, imagen con texto I  
**Resultado:** Modelo de calibración del rastreador ocular  $\theta_x, \theta_y, Q, R$

- 1 Generar patrón de calibración;
- 2 **inicio**
- 3     Convertir I a escala de grises;
- 4     Binarizar I (Otsu, 1979);
- 5     Realizar operación morfológica “*closing*” sobre I;
- 6     Obtener componentes conectados de I;
- 7     Obtener centroides en I;
- 8     Eliminar la coordenada en  $x$  de los centroides y de las fijaciones del rastreador;
- 9     Agrupar usando la técnica de agrupación “*kmeans*”;
- 10    Restaurar la coordenada en  $x$  a los grupos de centroides y de fijaciones resultantes;
- 11    Ajustar líneas ( $L, L'$ ) usando mínimos cuadrados;
- 12    Calcular puntos de intersección ( $P_R, P'_R$ );
- 13    Calcular puntos de proyección ( $P_Q, P'_Q$ );
- 14 **fin**
- 15 Obtener calibración inicial;
- 16 **inicio**
- 17    Crear matrices para calibración usando el modelo de Cheng et al (2014);
- 18    Calcular calibración inicial ( $\theta_x, \theta_y, Q, R$ );
- 19 **fin**

---

fijación (Fig. 3.2) utilizando las ecuaciones (3.11)

$$x' = \frac{b(bx - ay) - ac}{a^2 + b^2} \quad (3.11)$$

$$y' = \frac{a(-bx + ay) - bc}{a^2 + b^2}$$

Para realizar el proceso de calibración se tomó el modelo propuesto en Cheng et al (2014) el cual es un modelo cuadrático de la forma:

$$\hat{x}_p = a + bx_s + cy_s + dx_s^2 + ey_s^2 + fx_sy_s \quad (3.12)$$

$$\hat{y}_p = g + hx_s + iy_s + jx_s^2 + ky_s^2 + lx_sy_s$$

De esta forma los datos de los puntos de fijación, unión y proyección basados en las lecturas del rastreador ( $P_E = P' \cup P'_Q \cup P'_R$ ) son representados en una matriz denominada  $A$  donde todos los coeficientes son puestos a 1.

**Algoritmo 2:** Algoritmo de Calibración Incremental**Datos:** Modelo de calibración inicial  $\theta_x, \theta_y$ , Matrices de factorización  $Q, R$ , Nuevo punto  $P$ **Resultado:** Modelos de calibración actualizados  $\theta'_x, \theta'_y, Q', R'$ **1 inicio****2** | Agregar  $P$  a  $R$  representándolo en base al modelo de Cheng et al (2014);**3** | Usando  $R$  y  $Q$  calcular con rotaciones de Givens  $Q'$  y  $R'$ ;**4** | Calcular calibración  $(\theta'_x, \theta'_y)$ ;**5 fin**

Usando factorización QR sobre la matriz  $A$  y con los datos de los puntos de la imagen con el texto que el participante lee ( $P_S = P \cup P_Q \cup P_R$ ), los cuales son ordenados para coincidir con su correspondiente en los datos del sensor en la matriz  $A$ , se calculan una  $\theta_x$  y  $\theta_y$  que contienen el modelo de calibración inicial.

**3.3.2 Calibración incremental**

A partir de  $\theta_x$  y  $\theta_y$ , obtenidas de la calibración inicial y de las matrices  $Q$  y  $R$  de la factorización se van añadiendo puntos de fijación a la calibración (Algoritmo 2).

Se toma a la matriz  $R$  como base se agrega el nuevo punto de fijación representado en el modelo cuadrático, y mediante rotaciones de Givens se calculan una nueva matriz  $R$  y una matriz  $Q$  que tiene como base la matriz  $Q$  de la factorización, y nuevamente son calculadas  $\theta_x$  y  $\theta_y$ . Este proceso se repite mientras haya nuevos puntos de fijación.

**3.3.3 Detección de calibración válida**

Para la detección de calibración no válida se propone usar un límite de tres veces el error anterior, de esta forma si durante la calibración incremental se inserta un error superior a tres veces el error que se tenía de la calibración anterior el sistema solicita un proceso de re-calibración, provocando así la substitución del modelo de calibración anterior.

**3.4 Resumen**

En este capítulo se propone una técnica de calibración que hace uso de la lectura de un texto a modo de ocultar el proceso de calibración y que permite compensar los movimientos de cabeza

mediante el uso de una calibración incremental; además, permite validar si el error en la calibración excede un límite de tolerancia predeterminado.





## 4. Pruebas y resultados

### 4.1 Objetivos de la investigación

Este estudio desea resolver las siguientes preguntas de investigación:

- RQ1** ¿La técnica de calibración propuesta logra errores bajos para el eje de las ordenadas?
- RQ2** ¿La técnica de calibración propuesta logra errores bajos para el eje abscisas?
- RQ3** ¿La técnica de calibración propuesta logra errores similares para los ejes vertical y horizontal?
- RQ4** ¿La técnica de calibración propuesta es tolerante a errores?

### 4.2 Metodología

Para evaluar el método propuesto, se realiza un procedimiento de calibración inicial (Algoritmo 1), acto seguido, se muestra una matriz de nueve puntos (Fig. 2.1) la cual se utiliza para medir el error inicial de la calibración. Se inicia un proceso de calibración incremental mediante el cual se añaden nuevos puntos a la calibración (Algoritmo 2) el Algoritmo 4 se usa para evaluar la calibración en cada iteración.

---

#### Algoritmo 3: Algoritmo del experimento

---

**Datos:** Datos de fijación del rastreador ocular

**Resultado:** Modelo de calibración del rastreador ocular

```
1 inicio
2   Realizar calibración inicial (Algoritmo 1);
3   Evaluar calibración (Algoritmo 4);
4   para  $i=0; i < 3; i++$  hacer
5       Realizar calibración incremental (Algoritmo 2);
6       Evaluar calibración (Algoritmo 4);
7   fin
8 fin
```

---

**Algoritmo 4:** Algoritmo de Evaluación**Datos:**  $\theta_x, \theta_y, Q, R$ **Resultado:**  $e_x, e_y$ **1 inicio****2** | Mostrar matriz de nueve puntos;**3** | Obtener fijaciones;**4** | Calcular estimaciones de los puntos de fijacion usando  $\theta_x$  y  $\theta_y$  (3.12);**5** | Calcular  $e_x$  y  $e_y$  (4.1);**6 fin**

### 4.3 Métricas

Para la obtención de resultados se tomaron los datos de todos los participantes y se dividieron en las siguientes categorías: error en calibración inicial, error en iteración uno, error en iteración dos y error en iteración tres. Con los datos obtenidos se generan varias tablas que contienen el error absoluto en las coordenadas  $x$  y  $y$  calculadas por la calibración respecto a las mostradas en pantalla. Para calcular el error absoluto (4.1) en  $x$  ( $e_x$ ) y en  $y$  ( $e_y$ ), de cada categoría se obtiene el error medio en  $x$  ( $\hat{x}_i$ ) y en  $y$  ( $\hat{y}_i$ ). A continuación, para cada una de las iteraciones se compara con las coordenadas base  $(x_i, y_i)$ .

$$e_{x_i} = |\hat{x} - x_i| \quad (4.1)$$

$$e_{y_i} = |\hat{y} - y_i|$$

donde  $i = 1 \dots 9$  es el número de puntos en la matriz de evaluación  $(x_i, y_i)$  son las coordenadas de cada punto y  $\hat{x}_i$  y  $\hat{y}_i$  se calculan con (3.12) con los parámetros de calibración actualizados  $\theta_x$  y  $\theta_y$ .

### 4.4 Procedimiento

Para evaluar los métodos propuestos se diseñó un experimento con los pasos que se describen en el Algoritmo 3.

En el experimento participaron nueve voluntarios con un rango de edad de 23 a 33 años, a todos los participantes se les instruyó a dar clic en el punto que estaban observando con el objetivo de asegurar que su mirada estaba fija en ese punto y no en otra dirección, a continuación debían leer un

texto pequeño en la pantalla, dar clic en la pantalla al terminar de leer y continuar haciendo clic en los puntos conforme aparecían en la pantalla.

#### 4.5 Análisis estadístico

Se realizaron tres pruebas  $t$  para muestras emparejadas donde se comparan los errores  $e_x$  con la iteración previa y entre la primera iteración y la última, de igual forma para los errores  $e_y$  además de los errores  $e_x$  contra los errores  $e_y$ , para las pruebas se usa un valor de  $p < 0.05$  para considerar diferencias significativas.

#### 4.6 Resultados

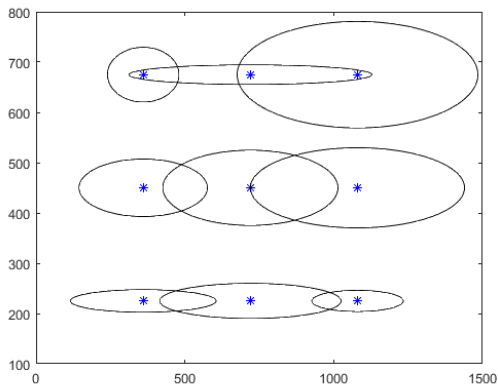
Como se mencionó anteriormente, los resultados se dividieron en cuatro categorías y se tomó el error medio de cada una en  $x$  y en  $y$ , las figuras 4.1 ilustran los resultados obtenidos, en estas figuras se muestran los nueve puntos de fijación (como asteriscos azules) junto al error obtenido en esa calibración (como óvalos negros), los óvalos rojos en las figuras 4.1b a 4.1d muestran el error de la calibración inicial como comparación.

La tabla 4.1 muestra los errores absolutos obtenidos ( $e_x$  y  $e_y$ ) para cada punto de la matriz utilizada para medir el error por cada iteración usando una resolución de  $1440 \times 900$  píxeles.

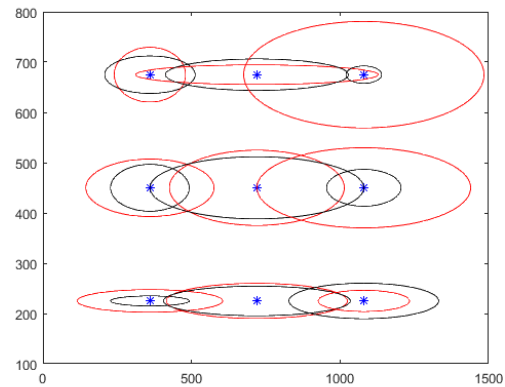
La primera prueba evalúa los errores  $e_x$ , en ella se observa como la media decrece de la iteración 0 en 278.50 píxeles a la iteración 3 con 139.92 píxeles; para la desviación estándar pasa de 103.66 en la iteración 0 a 66.09 en la iteración 3, entre la iteración 0 y la 3 se tiene  $t(8) = 3.31$ ,  $p = 0.011$ . Por lo que se puede concluir que esta diferencia es estadísticamente significativa.

La segunda prueba evalúa los errores  $e_y$ , en ésta se tiene un descenso de la media de 52.22 píxeles a 26.95 píxeles de la iteración 0 a la 3, la desviación estándar desciende de 30.41 a 10.36, entre la iteración 0 y la 3 se tiene  $t(8) = 3.26$ ,  $p = 0.011$ . Por lo que se puede concluir que esta diferencia es estadísticamente significativa.

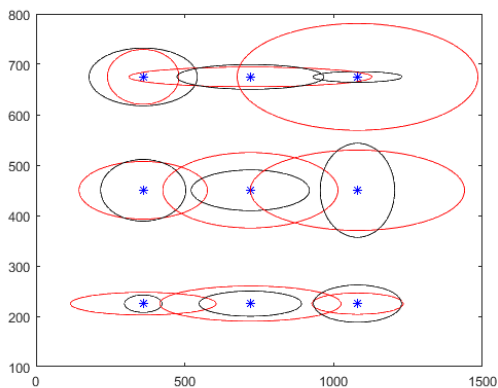
La tercer prueba compara el error entre  $e_x$  y  $e_y$ , en ésta se observa como los errores absolutos en  $x$  ( $\text{media}(e_x) = 278.50$  píxeles) y los errores absolutos en  $y$  ( $\text{media}(e_y) = 52.22$  píxeles) arrojaron diferencias significativas en la calibración inicial,  $t(8) = 6.98$ ,  $p < 0.001$ . En las siguien-



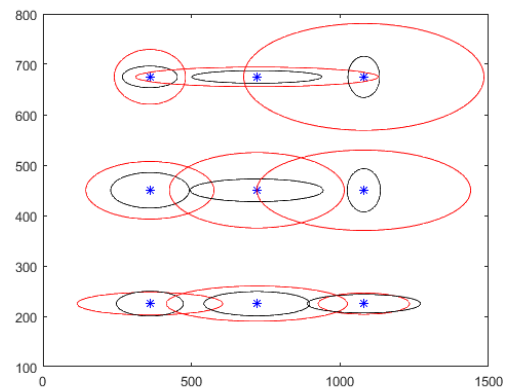
(a) Error después de la calibración inicial.



(b) Error después de la primera iteración.



(c) Error después de la segunda iteración.



(d) Error después de la tercera iteración.

Figura 4.1: Error en la calibración después de cada iteración.

tes iteraciones esta diferencia se reduce. Por ejemplo, en la tercera re-calibración las medias son  $\text{media}(e_x) = 139.92$  píxeles y  $\text{media}(e_y) = 26.95$  píxeles; pero, la diferencia aún es estadísticamente significativa,  $t(8) = 4.55$ ,  $p = 0.002$ . Por lo que podemos concluir que los errores  $e_y$  tienden a ser significativamente menores respecto a los de  $e_x$ .

Tabla 4.1: Error de los resultados del algoritmo propuesto en iteraciones de calibración.

Punto	iteración 0		iteración 1		iteración 2		iteración 3	
	$e_x$	$e_y$	$e_x$	$e_y$	$e_x$	$e_y$	$e_x$	$e_y$
1	244.9350	22.4530	132.6230	9.9630	62.9760	17.2140	112.7540	24.564
2	304.9400	34.9440	314.6100	29.3810	171.9960	25.0270	178.3970	24.1490
3	153.9100	21.0690	251.9570	35.3360	147.7460	36.9850	190.9390	18.3480
4	215.6030	57.1830	132.1900	46.6390	142.9340	61.3260	132.1320	35.2410
5	294.4100	74.8350	360.0900	61.7670	198.7830	40.3310	223.7760	22.5250
6	359.8000	79.6910	125.3680	36.5040	125.1300	93.2740	55.8400	42.7440
7	120.1500	54.4320	152.3550	37.2990	181.8790	57.2260	92.7590	21.3920
8	408.3400	19.4910	308.0390	31.3420	246.8590	24.5010	219.1150	12.5990
9	404.4440	105.8530	60.0900	17.2790	150.0850	10.6620	53.5500	40.9540





## 5. Conclusiones y trabajo futuro

### 5.1 Discusión de resultados

Como se observó en las pruebas t para muestras emparejadas la técnica de calibración propuesta logra errores bajos para el eje de las ordenadas, pero no así para el eje de las abscisas donde se observan errores significativamente mas grandes, esto se debe a el diseño del patrón de calibración generado el cual causa que se tenga una mayor cantidad de puntos de referencia verticales respecto a los horizontales. En comparativa entre los errores en  $e_x$  y  $e_y$ , en base a la desviación estándar, el error típico y las medias se observa como los errores en el eje horizontal son mayores a los del eje vertical. En base a los resultados obtenidos, se observa que el la técnica de calibración propuesta es capaz de mejorar la precisión de la calibración a través de varias iteraciones, además de que el proceso de calibración inicial queda oculto al participante y permite recuperarse de un error desechando la calibración anterior y re-calibrando.

### 5.2 Conclusiones

Este trabajo presenta un método de calibración que hace énfasis en rastreadores oculares sin compensación de movimiento de cabeza. Mediante los resultados obtenidos es posible ver que la técnica propuesta permite calibrar un rastreador ocular. Para llegar a este resultado fue necesario cumplir con los siguientes objetivos:

- Estudiar los tipos de transformaciones geométricas en 2D.
- Estudiar técnicas de calibración de rastreadores oculares.

Cumplir este objetivo nos permite observar que la técnica propuesta puede usarse en rastreadores oculares más económicos los cuales suelen de carecer de cámaras estéreo o no depender de largos conjuntos de datos de rostros para hacer el seguimiento.

- Proponer una técnica de calibración basada en factorización QR y rotaciones de Givens.

El uso de factorización QR permite que sólo durante la calibración inicial o la re-calibración se calcule un modelo de calibración completo permitiendo añadir puntos de fijación a la calibración sin tener que realizar el cálculo completo.

- Probar la técnica de calibración con un rastreador ocular.

Durante las pruebas se pudo observar que la técnica propuesta, debido a que tiene un error más bajo en el eje vertical, permite detectar si una línea de texto fue leída; pero también que si se desea utilizarla en otras aplicaciones es necesario mejorar o desarrollar otro patrón de calibración que permita mejorar la precisión en el eje horizontal.

La realización de estos objetivos hizo posible cumplir con el objetivo general:

- Calibrar en tiempo real un rastreador ocular y detectar una calibración no válida.

Al calibrar en tiempo real un rastreador ocular y detectar una calibración no válida se puede reducir el tiempo que toman los experimentos ya que en muchas situaciones cuando un participante se mueve hay que interrumpir un experimento y ejecutarlo nuevamente o adquirir dispositivos con la capacidad de corregir ese movimiento lo cual incrementa los costos.

Debido a esto, es posible decir que se cumplió con la hipótesis planteada en el capítulo 1 de esta tesis, la cual tenía como objetivo el comprobar si se podía generar una técnica de calibración en tiempo real para rastreador ocular basado en video capaz de compensar movimientos de cabeza naturales.

### 5.3 Trabajo futuro

En esta sección se muestran las posibles mejoras que pueden realizarse a futuro:

- Mejorar la precisión de la calibración inicial; esto se podría lograr mediante la inclusión de más texto o de imágenes simples que sirvan como puntos de fijación.
- Comparar el método propuesto con otros para observar cómo se desempeña en cuestión de precisión, sin embargo los algoritmos de calibración suelen ser mantenidos en secreto por lo que realizar esta comparación podría ser difícil.
- Reducir el error para las coordenadas en  $x$ , ya que para calcular la calibración inicial se utilizan varias proyecciones y estas en su mayoría se ven más reflejadas en el eje vertical, incrementar



---

los puntos y proyecciones horizontales podría beneficiar a la precisión de las coordenadas en  $x$ .



## Bibliografía

- Abdi H (2003) Least Squares. In: M. Lewis-Beck, A. Bryman, T. Futing (Eds): Encyclopedia for research methods for the social sciences. Thousand Oaks (CA): Sage., pp 559–561
- Alvarado Hernández MG (2016) Evaluación de Objetos de Aprendizaje a través de Seguimiento Ocular. PhD thesis, Centro de Investigación en Matemáticas A.C. (Zacatecas, Zacatecas)
- Álvarez J, Otamendi A, Belfer K, Nesbit J, Leacock T (2010) Instrumento para la evaluación de objetos de aprendizaje (lori\_esp) manual de usuario
- Cheng D, An M, Yu W, Fang L (2014) Learning Dynamic Models of Gaze Point Mapping from Eye Movement. In: Proceedings of International Conference on Internet Multimedia Computing and Service, ACM, New York, NY, USA, ICIMCS '14, pp 289:289—289:294, DOI 10.1145/2632856.2632873, URL <http://doi.acm.org/10.1145/2632856.2632873>
- Covarrubias R (2016) Evaluación de Carga Cognitiva en Videojuegos con Seguimiento Ocular. PhD thesis
- Duchowski A (2007) Eye Tracking Methodology: Theory and Practice, 2nd edn. Springer, URL <http://gen.lib.rus.ec/book/index.php?md5=77AAC8F1DDFA6ED76E69AC6E5DB452E8>
- Fixxl Ltd (2017) Chin and head rest. Webpage, <https://www.rehacom.co.uk/chin-and-head-rest/>
- Flatla DR, Gutwin C, Nacke LE, Bateman S, Mandryk RL (2011) Calibration games: Making calibration tasks enjoyable by adding motivating game elements. In: Proceedings of the 24th Annual ACM Symposium on User Interface Software and Technology, ACM, New York, NY, USA, UIST '11, pp 403–412, DOI 10.1145/2047196.2047248, URL <http://doi.acm.org/10.1145/2047196.2047248>

- 
- Hartley R, Zisserman A (2004) *Multiple View Geometry in Computer Vision*, 2nd edn. Cambridge University Press, ISBN: 0521540518
- Krafka K, Khosla A, Kellnhofer P, Kannan H, Bhandarkar S, Matusik W, Torralba A (2016) Eye tracking for everyone. In: *Proceedings of the IEEE Conference on Computer Vision and Pattern Recognition*, pp 2176–2184
- Lara-Alvarez C, Mitre-Hernandez H, Alvarado-Hernandez M (2016) Entropy of eye fixations: a tool for evaluation of learning objects. *Advances in Computational Linguistics* p 89
- Lupu RG, Ungureanu F (2013) A survey of eye tracking methods and applications. *Mathematics Subject Classification:68U35,68N19,94A12 LXIII(3):72–86*
- Mitre-Hernandez H, Alvarado-Hernandez M, Lara-Alvarez C (2016) Evaluation of learning objects through eye tracking. In: *Software Process Improvement (CIMPS), International Conference on, IEEE*, pp 1–8
- Otsu N (1979) A threshold selection method from gray-level histograms. *IEEE Transactions on Systems, Man, and Cybernetics* 9(1):62–66, DOI 10.1109/TSMC.1979.4310076
- Poole A, Ball LJ (2005) Eye tracking in human-computer interaction and usability research: Current status and future. In: *Prospects*, Chapter in C. Ghaoui (Ed.): *Encyclopedia of Human-Computer Interaction*. Pennsylvania: Idea Group, Inc
- Press WH, Teukolsky SA, Vetterling WT, Flannery BP (2007) *Numerical Recipes 3rd Edition: The Art of Scientific Computing*, 3rd edn. Cambridge University Press, New York, NY, USA
- The Eye Tribe (2017) Calibration. Webpage, <https://s3.eu-central-1.amazonaws.com/theeyetribe.com/theeyetribe.com/dev/general/index.html>
- Zhu Z, Ji Q (2007) Novel Eye Gaze Tracking Techniques Under Natural Head Movement. *IEEE Transactions on Biomedical Engineering* 54(12):2246–2260, DOI 10.1109/TBME.2007.895750



## Glosario

**CIMAT** Centro de Investigación en Matemáticas unidad Zacatecas. 2

**cámaras estéreo** son cámaras capaces de capturar imágenes (fotografías) en tres dimensiones. 2

**DSP** Digital Signal Processor. 1

**electrooculograma** es un examen que consiste en colocar pequeños electrodos cerca de los músculos de los ojos para medir el movimiento de estos. 1

**firmware** es el programa informático que tiene directa interacción con los circuitos electrónicos de un dispositivo, siendo así el encargado de controlarlo para ejecutar correctamente las instrucciones externas. 5

**HCI** Human–Computer Interaction. 1

**lente de contacto escleral** son un tipo de lentes semirrígidas con un tamaño mayor de lo habitual. Su diámetro es similar al de las lentes blandas; gracias a ello, se pueden apoyar en la esclera (la parte blanca del ojo), que es una zona inervada, por lo que resultan muy cómodas de colocar. 1

**mapeo** es la realización de un mapa o conjunto de elementos de un mismo tipo o categoría que tienen una distribución espacial determinada. 8, 10

**marketing** es la actividad, conjunto de instituciones y procesos para crear, comunicar, distribuir e intercambiar ofertas que tengan valor para los consumidores, clientes, socios y la sociedad en general. 7

**matriz** es un arreglo bidimensional de números. 9

**matriz ortogonal** es una matriz cuadrada cuya matriz inversa coincide con su matriz traspuesta. 17

**matriz triangular** es un tipo especial de matriz cuadrada cuyos elementos por encima o por debajo de su diagonal principal son cero. 17

**NFL** National Football League. 7

**plano cartesiano** es un diagrama que permite localizar puntos específicamente dentro de un sistema de coordenadas que se conocen como Coordenadas Rectangulares. 15

**taxonomía** clasificación u ordenación en grupos de cosas que tienen unas características comunes.  
1

**video-oculografía** es un procedimiento de exploración de la motilidad ocular. 1



## A. Apéndice 1. Código de Calibración

### Librerías

**OpenCV** Es una biblioteca libre de visión artificial.

**Eigen** Es una biblioteca de C++ de alto nivel para álgebra lineal, operaciones matriciales y de vectores, transformaciones geométricas, solucionadores numéricos y algoritmos relacionados.

**Windows.h** Es un archivo cabecera específico de Windows para la programación en lenguaje C/C++ que contiene las declaraciones de todas las funciones de la biblioteca Windows API

**gazeapi.h** Proporciona una interfaz C++ para comunicarse con el servidor EyeTribe a través de la API abierta de EyeTribe.

**iostream** Es un componente de la biblioteca estándar (STL) del lenguaje de programación C++ que es utilizado para operaciones de entrada/salida.

**numeric** Provee algoritmos para el procesamiento numérico.

**list** Provee la plantilla clase contenedora `std::list`, una lista doblemente enlazada.

**iterator** Provee clases y plantillas para trabajar con iteradores.

**vector** Provee la plantilla clase contenedora `std::vector`, un arreglo dinámico.

**fstream** Provee facilidades para la entrada y salida basada en archivos.

**sstream** Provee la clase plantilla `std::stringstream` y otras clases para la manipulación de cadenas de caracteres.

### TestOpenCV.cpp

```
1 #include <opencv2/core.hpp>
2 #include <opencv2/imgcodecs.hpp>
3 #include <opencv2/imgproc.hpp>
```

```
4 #include <opencv2/highgui.hpp>
5 #include <iostream>
6 #include <iterator>
7 #include <vector>
8 #include <Eigen/Dense>
9 #include <fstream>
10 #include <Windows.h>
11 #include <sstream>
12 #include "MyGaze.h"
13
14
15 using namespace cv;
16 using namespace std;
17
18 vector<Point2f> coords;
19 int width = GetSystemMetrics(SM_CXSCREEN), height = GetSystemMetrics
    (SM_CYSCREEN);
20 Point2f scr_pnt_up((width / 5) * 4, 100), scr_pnt_down(width / 5,
    height - 100);
21 bool flag;
22
23 void waitClick()
24 {
25     flag = true;
26     while (flag)
27     {
28         int k = waitKey(10);
29         if (k == 27) break;
30     }
31 }
32 int save_to_file(string path, vector<Point2f> vec)
33 {
```

```
34     ofstream outfile;
35     outfile.open(path);
36     for (auto n : vec)
37     {
38         outfile << n.x << ", " << n.y << endl;
39     }
40     outfile.close();
41     return 0;
42 }
43
44 vector<Point2f> mat_to_vec(Mat fix_mat)
45 {
46     vector<Point2f> fix;
47     for (int i = 0; i < fix_mat.rows; i++)
48     {
49         double *ptr = fix_mat.ptr<double>(i);
50         fix.push_back(Point2f(ptr[0], ptr[1]));
51     }
52     std::sort(fix.begin(), fix.end(), [=](const cv::Point2f &a,
53         const cv::Point2f &b) {
54         return (norm(a - scr_pnt_up) < norm(b - scr_pnt_up))
55             ;
56     });
57     return fix;
58 }
59
60 Mat read_file(string path)
61 {
62     /*Data set reading*/
63     ifstream inputfile(path);
64     vector<vector<double>> values;
65     vector<double> x, y;
```



```
64     for (string line; getline(inputfile, line);)
65     {
66         replace(line.begin(), line.end(), ',', ' ');
67         istringstream in(line);
68         values.push_back(
69             vector<double>(istream_iterator<double>(in),
70                 istream_iterator<double>()));
71     }
72     int count = 0;
73     for (auto n : values)
74     {
75         if (count != 1 || count != 2)
76         {
77             x.push_back(n[0]);
78             y.push_back(n[1]);
79         }
80         else
81         {
82             count++;
83         }
84     }
85     Mat my(y), mx(x), resoult;
86     hconcat(mx, my, resoult);
87     return resoult;
88 }
89
90 void on_mouse(int event, int x, int y, int, void *img)
91 {
92     if (event == EVENT_LBUTTONDOWN)
93     {
94         cout << "Left button of the mouse is clicked -
           position (" << x << ", " << y << ")" << endl;
```

```
95         flag = false;
96     }
97 }
98
99 int display_line(Mat &line_ds, Mat &img)
100 {
101     for (int i = 0; i < line_ds.rows; i++)
102     {
103         const double *p1 = line_ds.ptr<double>(i);
104         if (i + 1 < line_ds.rows)
105         {
106             double *p2 = line_ds.ptr<double>(i + 1);
107             line(img, Point(p1[0], p1[1]), Point(p2[0],
108                 p2[1]), Scalar(0, 0, 0), 1, CV_AA);
109         }
110     }
111     return 0;
112 }
113
114 Point2f intersect(Eigen::Vector3d line_h, vector<Point2f> pnt_in)
115 {
116     Eigen::Vector3d pnt1, pnt2, line_intersect, pnt_intersect;
117     pnt1 << pnt_in[0].x, pnt_in[0].y, 1;
118     pnt2 << pnt_in[1].x, pnt_in[1].y, 1;
119     line_intersect = pnt1.cross(pnt2);
120     cout << line_intersect << "linea de interserccion" << endl;
121     cout << pnt1 << endl << pnt2 << "Puntos de fijacion" << endl
122         ;
123     pnt_intersect = line_h.cross(line_intersect);
124     pnt_intersect = pnt_intersect * (1 / pnt_intersect(2));
125     return Point2f(pnt_intersect(0), pnt_intersect(1));
126 }
```

```
125
126 Point2f proyect_line(Mat &theta, Mat &img, Point2f pnt)
127 {
128     double a = theta.at<double>(0), c = theta.at<double>(1), a2
129         = a * a;
130     int b = -1, b2 = b * b;
131     int x = (b * (b * (pnt.x) - a * pnt.y) - (a * c)) / (a2 + b2
132         );
133     int y = (a * (-b * (pnt.x) + a * pnt.y) - (b * c)) / (a2 +
134         b2);
135     line(img, Point(pnt.x, pnt.y), Point(x, y), Scalar(0, 255,
136         0), 1, CV_AA);
137     return Point2f(x, y);
138 }
139
140 Mat adjust_line(Mat &centroids, Mat &img, vector<Point2f> &pnt,
141     vector<Point2f> pnt_in, double &b)
142 {
143     Mat y = centroids.col(1), x = centroids.col(0), one = Mat::
144         ones(x.size(), x.type());
145     hconcat(x, one, one);
146     Mat theta = (one.t() * one).inv() * one.t() * y;
147     b = theta.at<double>(1);
148     Mat yp = (theta.at<double>(0) * x) + theta.at<double>(1);
149     Eigen::Vector3d line_h(theta.at<double>(0), -1, theta.at<
150         double>(1));
151     vector<Point2f> vec_line, vec_proyect;
152     pnt.push_back(intersect(line_h, pnt_in));
153     for (auto i : pnt_in)
154     {
155         pnt.push_back(proyect_line(theta, img, i));
156     }
157 }
```

```
150     return yp;
151 }
152
153 int get_centroids(Mat &img, vector<Point2f> &pnts)
154 {
155     Mat grey, binimg, labels, stats, centroids, best_labels,
156         attemps, centers, centroids32f;
157     cvtColor(img, grey, COLOR_BGR2GRAY);
158     threshold(grey, binimg, 80, 255, THRESH_BINARY_INV |
159             THRESH_OTSU);
160     connectedComponentsWithStats(binimg, labels, stats,
161             centroids);
162     centroids.convertTo(centroids32f, CV_32F);
163     kmeans(centroids32f.col(1), 3, best_labels, TermCriteria(
164             CV_TERMCRIT_ITER | CV_TERMCRIT_EPS, 10000, 0.0001), 5,
165             KMEANS_PP_CENTERS, centers);
166     Mat red, green, blue;
167     for (int i = 0; i < centroids.rows; i++)
168     {
169         const double *Mi = centroids.ptr<double>(i);
170         int tmp = best_labels.at<int>(i);
171         switch (tmp)
172         {
173             case 0:
174                 circle(img, Point(Mi[0], Mi[1]), 2.0, Scalar
175                     (0, 0, 255), -1, CV_AA);
176                 red.push_back(centroids.row(i));
177                 break;
178             case 1:
179                 circle(img, Point(Mi[0], Mi[1]), 2.0, Scalar
180                     (0, 255, 0), -1, CV_AA);
181                 green.push_back(centroids.row(i));
```

```

175         break;
176     case 2:
177         circle(img, Point(Mi[0], Mi[1]), 2.0, Scalar
178             (255, 0, 0), -1, CV_AA);
179         blue.push_back(centroids.row(i));
180         break;
181     default:
182         break;
183     }
184     vector<Point2f> pnt_in, pnt_red, pnt_blue, pnt_green;
185     pnt_in.push_back(scr_pnt_up);
186     pnt_in.push_back(scr_pnt_down);
187     vector<double> b(3);
188     Mat yp_red = adjust_line(red, img, pnt_red, pnt_in, b[0]),
189         yp_blue = adjust_line(blue, img, pnt_blue, pnt_in, b[1]),
190         yp_green = adjust_line(green, img, pnt_green, pnt_in, b
191         [2]), line_red, line_blue, line_green;
192     /*Sort*/
193     if (b[0] > b[1])
194     {
195         swap(b[0], b[1]);
196         swap(pnt_red, pnt_blue);
197     }
198     if (b[0] > b[2])
199     {
200         swap(b[0], b[2]);
201         swap(pnt_red, pnt_green);
202     }
203     if (b[1] > b[2])
204     {
205         swap(b[1], b[2]);
206         swap(pnt_blue, pnt_green);
207     }

```

```
203         swap(pnt_blue, pnt_green);
204     }
205     /*sort*/
206     pnts.reserve(pnt_red.size() + pnt_blue.size() + pnt_green.
207                 size());
208     pnts.insert(pnts.end(), pnt_red.begin(), pnt_red.end());
209     pnts.insert(pnts.end(), pnt_blue.begin(), pnt_blue.end());
210     pnts.insert(pnts.end(), pnt_green.begin(), pnt_green.end());
211     hconcat(red.col(0), yp_red, line_red);
212     display_line(line_red, img);
213     hconcat(blue.col(0), yp_blue, line_blue);
214     display_line(line_blue, img);
215     hconcat(green.col(0), yp_green, line_green);
216     display_line(line_green, img);
217     imshow("Display window", img);
218     return 0;
219 }
220
221 Mat display_img(string path)
222 {
223     Mat image;
224     image = imread(path, IMREAD_COLOR);
225     if (image.empty())
226     {
227         cout << "Could not open or find the image" << std::
228             endl;
229     }
230     resize(image, image, Size(width, height), 0, 0,
231           CV_INTER_AREA);
232     namedWindow("Display window", CV_WINDOW_NORMAL);
233     setWindowProperty("Display window", CV_WND_PROP_FULLSCREEN,
234           CV_WINDOW_FULLSCREEN);
```

```
231     setMouseCallback("Display window", on_mouse, &image);
232     imshow("Display window", image);
233     waitClick();
234     return image;
235 }
236
237 int display_point(float x, float y)
238 {
239     Mat matPoint = Mat::zeros(1000, 1000, CV_8UC3);
240     circle(matPoint,
241           Point(x, y),
242           5.0,
243           Scalar(0, 0, 255),
244           -1,
245           CV_AA);
246     namedWindow("Display window", CV_WINDOW_NORMAL); // Create a
                window for display.
247     setWindowProperty("Display window", CV_WND_PROP_FULLSCREEN,
                CV_WINDOW_FULLSCREEN);
248     imshow("Display window", matPoint); // Show our image inside
                it.
249     waitKey(1 /*000*/); // Wait for a
                keystroke in the window
250     return 0;
251 }
252
253 int calibration_points(Mat &a, float x, float y, vector<Point2f> tmp
    )
254 {
255     display_point(x, y);
256     std::sort(tmp.begin(), tmp.end(), [=](const cv::Point2f &a,
                const cv::Point2f &b) {
```

```
257         return (norm(a - Point2f(x, y)) < norm(b - Point2f(x
258             , y)));
259     });
260     int median = floorf(tmp.size() / 2) - 1;
261     vector<double> arrtmp = { 1, tmp[median - 2].x, tmp[median -
262         2].y, tmp[median - 2].x * tmp[median - 2].x, tmp[median
263         - 2].y * tmp[median - 2].y, tmp[median - 2].x * tmp[
264         median - 2].y };
265     Mat row(arrtmp);
266     a.push_back(row.t());
267     arrtmp = { 1, tmp[median].x, tmp[median].y, tmp[median].x *
268         tmp[median].x, tmp[median].y * tmp[median].y, tmp[median
269         ].x * tmp[median].y };
270     row = Mat(arrtmp);
271     a.push_back(row.t());
272     arrtmp = { 1, tmp[median + 2].x, tmp[median + 2].y, tmp[
273         median + 2].x * tmp[median + 2].x, tmp[median + 2].y *
274         tmp[median + 2].y, tmp[median + 2].x * tmp[median + 2].y
275         };
276     row = Mat(arrtmp);
277     a.push_back(row.t());
278     return 0;
279 }
280
281 int factorize_givens(Eigen::MatrixXd &Q, Eigen::MatrixXd &R)
282 {
283     Eigen::MatrixXd idnt = Eigen::MatrixXd::Identity(Q.rows(), Q
284         .cols());
285     for (int i = 0; i < R.cols(); i++)
286     {
287         Eigen::MatrixXd tmp = idnt;
288         Eigen::Matrix2d rotation;
```



```
279         double a = R(i, i), b = R(i + 1, i);
280         double hipotenuse = sqrt((a * a) + (b * b));
281         rotation << a / hipotenuse, b / hipotenuse,
282                 -b / hipotenuse, a / hipotenuse;
283         tmp.block(i, i, 2, 2) = rotation;
284         R = tmp * R;
285         cout << R << endl;
286         Q = Q * tmp.transpose();
287     }
288     return 0;
289 }
290
291 int draw_pnt(Mat &matPoint, Point2f pnt, Scalar color)
292 {
293     if (matPoint.empty())
294     {
295         matPoint = Mat(Size(width, height), CV_8UC3);
296         matPoint.setTo(Scalar(255, 255, 255));
297     }
298     circle(matPoint,
299           pnt,
300           10.0,
301           color,
302           -1,
303           CV_AA);
304     imshow("Display window", matPoint); // Show our image inside
305           it.
306     waitClick();
307     circle(matPoint,
308           pnt,
309           10.0,
310           Scalar(0, 0, 255),
```

```
310         -1,
311         CV_AA);
312     imshow("Display window", matPoint);
313     waitKey(1000);
314     return 0;
315 }
316
317 int incremental(Eigen::MatrixXd &Q, Eigen::MatrixXd &R, Eigen::
    VectorXd &theta_x, Eigen::VectorXd &theta_y, Eigen::VectorXd &x,
    Eigen::VectorXd &y, vector<Point2f> pnts, int inc, Eigen::
    MatrixXd &a)
318 {
319     Scalar black(0, 0, 0), red(0, 0, 255), green(0, 255, 0);
320     vector<Point2f> fix;
321     Mat fix_mat, matPoint;
322     ofstream outfile;
323     for (int i = 0; i < pnts.size(); i++)
324     {
325         draw_pnt(matPoint, pnts[i], black);
326         stringstream ss;
327         ss << "fix" << i << "_inc" << inc << ".csv";
328         fix_mat = read_file(ss.str());
329         fix = mat_to_vec(fix_mat);
330         Point2f pnt = fix[static_cast<int>(fix.size() / 2)];
331         Eigen::VectorXd vec(6);
332         vec << 1, pnt.x, pnt.y, pnt.x * pnt.x, pnt.y * pnt.y
            , pnt.x * pnt.y;
333         double x_4 = vec.dot(theta_x), y_4 = vec.dot(theta_y
            );
334         cout << "x: " << x_4 << endl
            << "y: " << y_4 << endl;
335         draw_pnt(matPoint, Point2f(x_4, y_4), red);
336     }
```

```
337
338     /* Add point to calibration */
339     Eigen::MatrixXd idnt = Eigen::MatrixXd::Identity(Q.
340         rows() + 1, Q.cols() + 1);
341     Eigen::MatrixXd tmp = idnt;
342     tmp.block(1, 1, Q.rows(), Q.cols()) = Q;
343     Q = tmp;
344     cout << R << endl;
345     tmp = Eigen::MatrixXd(R.rows() + 1, R.cols());
346     tmp << vec.transpose(),
347         R;
348     R = tmp;
349     cout << endl << R << endl;
350     cout << "doing givens..." << endl;
351     factorize_givens(Q, R);
352     theta_x = Eigen::VectorXd::Zero(6);
353     theta_y = Eigen::VectorXd::Zero(6);
354     Eigen::VectorXd vtmpx(x.size() + 1), vtmpy(y.size()
355         + 1);
356     vtmpx << pnts[i].x, x;
357     x = vtmpx;
358     vtmpy << pnts[i].y, y;
359     y = vtmpy;
360     Eigen::MatrixXd QtX = Q.transpose() * vtmpx;
361     Eigen::MatrixXd QtY = Q.transpose() * vtmpy;
362     for (int i = (R.cols() - 1); i > -1; i--)
363     {
364         theta_x(i) = (QtX(i, 0) - R.row(i).dot(
365             theta_x)) / R(i, i);
366         theta_y(i) = (QtY(i, 0) - R.row(i).dot(
367             theta_y)) / R(i, i);
368     }
```

```
365         cout << theta_x << endl
366             << endl
367             << theta_y << endl;
368         x_4 = vec.dot(theta_x);
369         y_4 = vec.dot(theta_y);
370         draw_pnt(matPoint, Point2f(x_4, y_4), green);
371         matPoint.release();
372
373         /* Minimos cuadrados */
374         Eigen::MatrixXd(a.rows() + 1, a.cols());
375         tmp << vec.transpose(),
376             a;
377         Eigen::VectorXd thetaXMC(6), thetaYMC(6);
378         thetaXMC = (tmp.transpose() * tmp).inverse() * tmp.
379             transpose() * x;
380         thetaYMC = (tmp.transpose() * tmp).inverse() * tmp.
381             transpose() * y;
382         cout << "Minimos cuadrados iteracion " << itr <<
383             endl << thetaXMC << endl << endl << thetaYMC <<
384             endl;
385         a = tmp;
386     }
387     return 0;
388 }
389
390 int draw_matrix(Eigen::VectorXd &theta_x, Eigen::VectorXd &theta_y,
391     int itr)
392 {
393     Mat fix_mat, matPoint;
394     ofstream outfile;
395     vector<Point2f> fix;
396     stringstream ss;
```

```
392     Point2f matrix_pnt;
393     for (int i = 0; i < 3; i++)
394     {
395         for (int j = 0; j < 3; j++)
396         {
397             matrix_pnt = Point2f((width / 4)*(j + 1), (
398                 height / 4)*(i + 1));
399             draw_pnt(matPoint, matrix_pnt, Scalar(0, 0,
400                 0));
401             ss << "Matrix_row_" << i << "_col" << j << "
402                 _itr_" << itr << ".csv";
403
404             /* Closing stuff */
405             matPoint.release();
406
407             fix_mat = read_file(ss.str());
408             cout << "Mat fix" << endl << fix_mat << endl
409                 ;
410             fix = mat_to_vec(fix_mat);
411             Point2f pnt = fix[static_cast<int>(fix.size
412                 () / 2)];
413             Eigen::VectorXd vec(6);
414             vec << 1, pnt.x, pnt.y, pnt.x * pnt.x, pnt.y
415                 * pnt.y, pnt.x * pnt.y;
416             double x = vec.dot(theta_x), y = vec.dot(
417                 theta_y);
418             ss.str(std::string());
419         }
420     }
421     return 0;
422 }
```

```
417 int auto_calibrate()
418 {
419     ofstream outfile;
420     vector<Point2f> fix_1, fix_2, fix_3;
421     Mat fix1_mat, fix2_mat;
422     // Fixation points
423     Mat matPoint(Size(width, height), CV_8UC3);
424     matPoint.setTo(Scalar(255, 255, 255));
425     circle(matPoint,
426            scr_pnt_up,
427            10.0,
428            Scalar(0, 0, 0),
429            -1,
430            CV_AA);
431     namedWindow("Display window", CV_WINDOW_NORMAL);
432     setWindowProperty("Display window", CV_WND_PROP_FULLSCREEN,
433                       CV_WINDOW_FULLSCREEN);
434     setMouseCallback("Display window", on_mouse, &matPoint);
435     imshow("Display window", matPoint);
436     waitClick();
437     circle(matPoint,
438            scr_pnt_up,
439            10.0,
440            Scalar(0, 0, 255),
441            -1,
442            CV_AA);
443     imshow("Display window", matPoint);
444     waitKey(1000);
445     matPoint = Mat(Size(width, height), CV_8UC3);
446     matPoint.setTo(Scalar(255, 255, 255));
447     circle(matPoint,
            scr_pnt_down,
```

```
448         10.0,
449         Scalar(0, 0, 0),
450         -1,
451         CV_AA);
452 imshow("Display window", matPoint);
453 waitClick();
454 circle(matPoint,
455         scr_pnt_down,
456         10.0,
457         Scalar(0, 0, 255),
458         -1,
459         CV_AA);
460 imshow("Display window", matPoint);
461 waitKey(1000);
462 Mat img = display_img("Diapositiva4.PNG");
463 vector<Point2f> pnts_img;
464 get_centroids(img, pnts_img);
465 Mat centroids, best_labels, centers, centroids32f;
466
467 centroids = read_file("cali.csv");
468 fix1_mat = read_file("fix1.csv");
469 fix2_mat = read_file("fix2.csv");
470 fix_1.clear();
471 fix_2.clear();
472 for (int i = 0; i < fix1_mat.rows; i++)
473 {
474     double *ptr = fix1_mat.ptr<double>(i);
475     fix_1.push_back(Point2f(ptr[0], ptr[1]));
476 }
477 for (int i = 0; i < fix2_mat.rows; i++)
478 {
479     double *ptr = fix2_mat.ptr<double>(i);
```

```
480         fix_2.push_back(Point2f(ptr[0], ptr[1]));
481     }
482     std::sort(fix_1.begin(), fix_1.end(), [=](const cv::Point2f
483         &a, const cv::Point2f &b) {
484         return (norm(a - scr_pnt_up) < norm(b - scr_pnt_up))
485             ;
486     });
487     std::sort(fix_2.begin(), fix_2.end(), [=](const cv::Point2f
488         &a, const cv::Point2f &b) {
489         return (norm(a - scr_pnt_down) < norm(b -
490             scr_pnt_down));
491     });
492     centroids.convertTo(centroids32f, CV_32F);
493     kmeans(centroids32f.col(1), 3, best_labels, TermCriteria(
494         CV_TERMCRIT_ITER | CV_TERMCRIT_EPS, 10000, 0.0001), 5,
495         KMEANS_PP_CENTERS, centers);
496     Mat red, green, blue;
497     for (int i = 0; i < centroids.rows; i++)
498     {
499         double *Mi = centroids.ptr<double>(i);
500         int tmp = best_labels.at<int>(i);
501         switch (tmp)
502         {
503             case 0:
504                 circle(img, Point(Mi[0], Mi[1]), 2.0, Scalar
505                     (0, 0, 255), -1, CV_AA);
506                 red.push_back(centroids.row(i));
507                 break;
508             case 1:
509                 circle(img, Point(Mi[0], Mi[1]), 2.0, Scalar
510                     (0, 255, 0), -1, CV_AA);
511                 green.push_back(centroids.row(i));
```



```
504         break;
505     case 2:
506         circle(img, Point(Mi[0], Mi[1]), 2.0, Scalar
507             (255, 0, 0), -1, CV_AA);
508         blue.push_back(centroids.row(i));
509         break;
510     default:
511         break;
512     }
513     vector<Point2f> pnt_in, pnt_red, pnt_blue, pnt_green;
514     pnt_in.push_back(fix_1[static_cast<int>(fix_1.size() / 2)]);
515     pnt_in.push_back(fix_2[static_cast<int>(fix_2.size() / 2)]);
516     for (auto n : pnt_in)
517     {
518         cout << "punto est " << n.x << ", " << n.y << endl;
519     }
520     cout << endl;
521     vector<double> b(3);
522     Mat yp_red = adjust_line(red, img, pnt_red, pnt_in, b[0]),
523         yp_blue = adjust_line(blue, img, pnt_blue, pnt_in, b[1]),
524         yp_green = adjust_line(green, img, pnt_green, pnt_in, b
525             [2]), line_red, line_blue, line_green;
526
527     /*Sort*/
528     if (b[0] > b[1])
529     {
530         swap(b[0], b[1]);
531         swap(pnt_red, pnt_blue);
532     }
533     if (b[0] > b[2])
534     {
```

```
532         swap(b[0], b[2]);
533         swap(pnt_red, pnt_green);
534     }
535     if (b[1] > b[2])
536     {
537         swap(b[1], b[2]);
538         swap(pnt_blue, pnt_green);
539     }
540     /*sort*/
541
542     hconcat(red.col(0), yp_red, line_red);
543     display_line(line_red, img);
544     hconcat(blue.col(0), yp_blue, line_blue);
545     display_line(line_blue, img);
546     hconcat(green.col(0), yp_green, line_green);
547     display_line(line_green, img);
548     imshow("Display window", img);
549     vector<Point2f> pnts_sensor;
550     pnts_sensor.reserve(pnt_red.size() + pnt_blue.size() +
551         pnt_green.size());
552     pnts_sensor.insert(pnts_sensor.end(), pnt_red.begin(),
553         pnt_red.end());
554     pnts_sensor.insert(pnts_sensor.end(), pnt_blue.begin(),
555         pnt_blue.end());
556     pnts_sensor.insert(pnts_sensor.end(), pnt_green.begin(),
557         pnt_green.end());
558
559     /*Asociacion*/
560     for (int i = 0; i < pnts_sensor.size(); i++)
561     {
562         line(img, pnts_sensor[i], pnts_img[i], Scalar(0, 0,
563             255), 1, CV_AA);
564     }
```

```
559     }
560     /*Asosiacion*/
561
562     Eigen::Matrix<double, 11, 6> a;
563     a << 1, pnts_sensor[0].x, pnts_sensor[0].y, pnts_sensor[0].x
        * pnts_sensor[0].x, pnts_sensor[0].y * pnts_sensor[0].y,
        pnts_sensor[0].x * pnts_sensor[0].y,
564         1, pnts_sensor[1].x, pnts_sensor[1].y, pnts_sensor
            [1].x * pnts_sensor[1].x, pnts_sensor[1].y *
            pnts_sensor[1].y, pnts_sensor[1].x * pnts_sensor
            [1].y,
565         1, pnts_sensor[2].x, pnts_sensor[2].y, pnts_sensor
            [2].x * pnts_sensor[2].x, pnts_sensor[2].y *
            pnts_sensor[2].y, pnts_sensor[2].x * pnts_sensor
            [2].y,
566         1, pnts_sensor[3].x, pnts_sensor[3].y, pnts_sensor
            [3].x * pnts_sensor[3].x, pnts_sensor[3].y *
            pnts_sensor[3].y, pnts_sensor[3].x * pnts_sensor
            [3].y,
567         1, pnts_sensor[4].x, pnts_sensor[4].y, pnts_sensor
            [4].x * pnts_sensor[4].x, pnts_sensor[4].y *
            pnts_sensor[4].y, pnts_sensor[4].x * pnts_sensor
            [4].y,
568         1, pnts_sensor[5].x, pnts_sensor[5].y, pnts_sensor
            [5].x * pnts_sensor[5].x, pnts_sensor[5].y *
            pnts_sensor[5].y, pnts_sensor[5].x * pnts_sensor
            [5].y,
569         1, pnts_sensor[6].x, pnts_sensor[6].y, pnts_sensor
            [6].x * pnts_sensor[6].x, pnts_sensor[6].y *
            pnts_sensor[6].y, pnts_sensor[6].x * pnts_sensor
            [6].y,
```

```
570     1, pnts_sensor[7].x, pnts_sensor[7].y, pnts_sensor
        [7].x * pnts_sensor[7].x, pnts_sensor[7].y *
        pnts_sensor[7].y, pnts_sensor[7].x * pnts_sensor
        [7].y,
571     1, pnts_sensor[8].x, pnts_sensor[8].y, pnts_sensor
        [8].x * pnts_sensor[8].x, pnts_sensor[8].y *
        pnts_sensor[8].y, pnts_sensor[8].x * pnts_sensor
        [8].y,
572     1, pnt_in[0].x, pnt_in[0].y, pnt_in[0].x * pnt_in
        [0].x, pnt_in[0].y * pnt_in[0].y, pnt_in[0].x *
        pnt_in[0].y,
573     1, pnt_in[1].x, pnt_in[1].y, pnt_in[1].x * pnt_in
        [1].x, pnt_in[1].y * pnt_in[1].y, pnt_in[1].x *
        pnt_in[1].y;
574 Eigen::VectorXd x(11);
575 x << pnts_img[0].x, pnts_img[1].x, pnts_img[2].x, pnts_img
        [3].x, pnts_img[4].x, pnts_img[5].x, pnts_img[6].x,
        pnts_img[7].x, pnts_img[8].x, scr_pnt_up.x, scr_pnt_down.
        x;
576 Eigen::VectorXd y(11);
577 y << pnts_img[0].y, pnts_img[1].y, pnts_img[2].y, pnts_img
        [3].y, pnts_img[4].y, pnts_img[5].y, pnts_img[6].y,
        pnts_img[7].y, pnts_img[8].y, scr_pnt_up.y, scr_pnt_down.
        y;
578 Eigen::MatrixXd Q, R;
579 Eigen::VectorXd thetaX_Eigen, thetaY_Eigen;
580 thetaX_Eigen = Eigen::VectorXd::Zero(6);
581 thetaY_Eigen = Eigen::VectorXd::Zero(6);
582 Eigen::HouseholderQR<Eigen::MatrixXd> qr(a);
583 Q = qr.householderQ();
584 R = qr.matrixQR().triangularView<Eigen::Upper>();
585 Eigen::MatrixXd QtX = Q.transpose() * x;
```

```

586 Eigen::MatrixXd QtY = Q.transpose() * y;
587 for (int i = (R.cols() - 1); i > -1; i--)
588 {
589     thetaX_Eigen(i) = (QtX(i, 0) - R.row(i).dot(
        thetaX_Eigen)) / R(i, i);
590     thetaY_Eigen(i) = (QtY(i, 0) - R.row(i).dot(
        thetaY_Eigen)) / R(i, i);
591 }
592 cout << thetaX_Eigen << endl
593     << endl
594     << thetaY_Eigen << endl;
595 vector<double> ex, ey;
596 for (int i = 0; i < a.rows(); i++)
597 {
598     Eigen::Matrix<double, Eigen::Dynamic, Eigen::Dynamic
        > tmpx = a.row(i) * thetaX_Eigen;
599     ex.push_back(tmpx(0, 0));
600     Eigen::Matrix<double, Eigen::Dynamic, Eigen::Dynamic
        > tmpy = a.row(i) * thetaY_Eigen;
601     ey.push_back(tmpy(0, 0));
602 }
603 for (auto n : pnts_img)
604 {
605     cout << "Punto imagen: " << n.x << ", " << n.y <<
        endl;
606     circle(img, n, 5, Scalar(0, 0, 100), -1, CV_AA);
607 }
608 for (auto n : pnts_sensor)
609 {
610     cout << "Punto sensor: " << n.x << ", " << n.y <<
        endl;
611 }

```

---

```

612     for (int i = 0; i < ex.size(); i++)
613     {
614         circle(img, Point(ex[i], ey[i]), 5, Scalar(255, 0,
615             255), -1, CV_AA);
616         cout << "Punto estimado: " << ex[i] << ", " << ey[i]
617             << endl;
618     }
619     circle(img, scr_pnt_up, 5, Scalar(0, 0, 100), -1, CV_AA);
620     circle(img, scr_pnt_down, 5, Scalar(0, 0, 100), -1, CV_AA);
621
622     for (int i = 0; i < centroids.rows; i++)
623     {
624         Eigen::VectorXd a_red(6);
625         double *pred = centroids.ptr<double>(i);
626         a_red << 1, pred[0], pred[1], pred[0] * pred[0],
627             pred[1] * pred[1], pred[0] * pred[1];
628         double redx = a_red.dot(thetaX_Eigen);
629         double redy = a_red.dot(thetaY_Eigen);
630         circle(img, Point(redx, redy), 5, Scalar(0, 0, 0),
631             -1, CV_AA);
632         cout << "\nEstimated point " << redx << ", " << redy
633             << endl;
634     }
635
636     imshow("Display window", img);
637     waitClick();
638
639     /* Minimos cuadrados */
640     Eigen::MatrixXd tmp = a;
641     Eigen::VectorXd thetaXMC(6), thetaYMC(6);
642     thetaXMC = (tmp.transpose() * tmp).inverse() * tmp.transpose
643         () * x;

```

```
638     thetaYMC = (tmp.transpose() * tmp).inverse() * tmp.transpose
        () * y;
639     cout << "Minimos cuadrados calibracion inicial" << endl <<
        thetaXMC << endl << thetaYMC << endl;
640
641     draw_matrix(thetaX_Eigen, thetaY_Eigen, 0);
642     for (int i = 1; i <= 3; i++)
643     {
644         vector<Point2f> pnts;
645         pnts.push_back(Point2f((width / 4)*i, height / 4));
646         pnts.push_back(Point2f((width / 4)*(4 - i), (height
            / 4)*3));
647         incremental(Q, R, thetaX_Eigen, thetaY_Eigen, x, y,
            pnts, i, tmp);
648         draw_matrix(thetaX_Eigen, thetaY_Eigen, i);
649     }
650     return 0;
651 }
652
653 int main(int argc, char **argv)
654 {
655     auto_calibrate();
656     return 0;
657 }
```

### MyGaze.cpp

```
1 #include "MyGaze.h"
2 #include <iostream>
3 #include <numeric>
4 #include <list>
5 #include <iterator>
```

---

```
6 #include <opencv2/core.hpp>
7 using namespace std;
8 using namespace cv;
9 // --- MyGaze implementation
10 MyGaze::MyGaze()
11     : m_api(1), // verbose_level 0 (disabled)
12     prev_fix(-1000, -1000)
13 {
14     // Connect to the server on the default TCP port (6555)
15     if (m_api.connect())
16     {
17         // Enable GazeData notifications
18         m_api.add_listener(*this);
19     }
20 }
21
22 MyGaze::~MyGaze()
23 {
24     m_api.remove_listener(*this);
25     m_api.disconnect();
26     fixations.clear();
27 }
28
29 void MyGaze::on_gaze_data(gtl::GazeData const &gaze_data)
30 {
31     if (gaze_data.state & gtl::GazeData::GD_STATE_TRACKING_GAZE)
32     {
33         gtl::Point2D const &smoothedCoordinates = gaze_data.
34             avg;
35         // Move GUI point, do hit-testing, log coordinates,
36         etc.
```



```
35         gd.push_back(Point2f(gaze_data.avg.x, gaze_data.avg.
36             y));
37     if (gd.size() == 10)
38     {
39         analyze(gd);
40     }
41 }
42
43 void MyGaze::analyze(list<Point2f> &points)
44 {
45     vector<Point2f> p{ begin(points), end(points) };
46     vector<float> x, y;
47     transform(p.begin(), p.end(), back_inserter(x), [](Point2f
48         const &pnt) { return pnt.x; });
49     transform(p.begin(), p.end(), back_inserter(y), [](Point2f
50         const &pnt) { return pnt.y; });
51     sort(x.begin(), x.end());
52     sort(y.begin(), y.end());
53     Point2f median(x[5], y[5]);
54     int counter = 0;
55     for (auto n : p)
56     {
57         double dist = norm(n - median);
58         if (dist <= 30)
59         {
60             counter++;
61             if (counter == 5)
62             {
63                 double dist_prev = norm(median -
64                     prev_fix);
65                 if (dist_prev >= 30)
```

---

```
63         {
64             fixations.push_back(median);
65             prev_fix = median;
66         }
67     }
68 }
69 }
70     points.pop_front();
71 }
72
73 list<Point2f> MyGaze::get_fixations()
74 {
75     return fixations;
76 }
77
78 vector<Point2f> MyGaze::get_readings()
79 {
80     return{ begin(gd), end(gd) };
81 }
82
83 vector<Point2f> MyGaze::get_fixations_vec()
84 {
85     return{ begin(fixations), end(fixations) };
86 }
```

## MyGaze.h

```
1 #include <gazeapi.h>
2 #include <list>
3 #include <opencv2/core.hpp>
4 using namespace std;
5 using namespace cv;
```

```
6 // --- MyGaze definition
7 class MyGaze : public gtl::IGazeListener
8 {
9 public:
10     MyGaze();
11     ~MyGaze();
12     list<Point2f> get_fixations();
13     vector<Point2f> get_readings();
14     vector<Point2f> get_fixations_vec();
15
16 private:
17     // IGazeListener
18     void on_gaze_data(gtl::GazeData const &gaze_data);
19     void analyze(list<Point2f> &points);
20
21 private:
22     gtl::GazeApi m_api;
23     list<Point2f> gd;
24     list<Point2f> fixations;
25     Point2f prev_fix;
26 };
```